

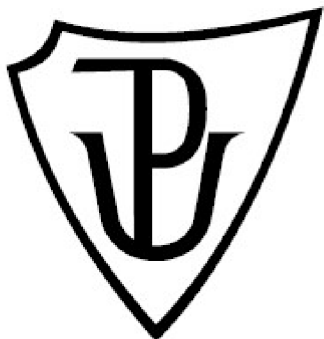
Univerzita Palackého v Olomouci

Bakalářská práce

Olomouc 2021

Petra Krňávková

Univerzita Palackého v Olomouci
Přírodovědecká fakulta
Katedra buněčné biologie a genetiky



***Cross-species amplifikace mikrosatelitů z řádu trubkonosí
u čápa bílého
(*Ciconia ciconia*)***

Bakalářská práce

Petra Krňávková

Studijní program: Biologie

Studijní obor: Molekulární a buněčná biologie

Forma studia: Prezenční

Olomouc 2021

Vedoucí práce: RNDr. Petr Nádvorník, Ph.D.

UNIVERZITA PALACKÉHO V OLOMOUCI

Přírodovědecká fakulta

Akademický rok: 2019/2020

ZADÁNÍ BAKALÁŘSKÉ PRÁCE

(projektu, uměleckého díla, uměleckého výkonu)

Jméno a příjmení: Petra KRŇÁVKOVÁ

Osobní číslo: R18649

Studijní program: B1501 Biologie

Studijní obor: Molekulární a buněčná biologie

Téma práce: Cross-species amplifikace mikrosatelitů z řádu trubkonosí u čápa bílého (*Ciconia ciconia*)

Zadávající katedra: Katedra buněčné biologie a genetiky

Zásady pro vypracování

1. Vypracování rešerše na téma bakalářské práce.
2. Shromáždění dostupných literárních zdrojů.
3. PCR amplifikace DNA čápa bílého s využitím *cross-species* primerů pro mikrosatellity, které jsou známé u ptáků z řádu trubkonosí.
Rozsah práce 40 stran.

Rozsah pracovní zprávy:

Rozsah grafických prací:

Forma zpracování bakalářské práce: tištěná

Seznam doporučené literatury:

1. Prum, R.O. *et al.* (2015): A comprehensive phylogeny of birds (Aves) using targeted next-generation DNA sequencing. *Nature*, 526, 569-573.
2. Moodley, Y. *et al.* (2015): Evolutionary factors affecting the cross-species utility of newly developer microsatellite markers in seabirds. *Molecular Ecology Resources*, 15, 1046-1058.
3. Kennedy, M. *et al.* (2013): The phylogenetic relationships of the extant pelicans inferred from DNA sequence data. *Molecular Phylogenetics and Evolution*, 66, 215-222.
4. Bicknell, A.W.J. *et al.* (2011): Characterisation and predicted genome locations of Leach's storm-petrel (*Oceanodroma leucorhoa*) microsatellite loci (Procellariidae, Aves). *Conservation Genetics Resources*, 3, 711-716.
5. Briedl, J. *et al.* (2012): Eighteen polymorphic microsatellite markers in Monteiro's storm-petrel, *Oceanodroma monteiroi*, and cross-species amplification in three other Procellariiformes. *Molecular Ecology Resources*, 9, 913-915.

Vedoucí bakalářské práce:

RNDr. Petr Nádvorník, Ph.D.

Katedra buněčné biologie a genetiky

Datum zadání bakalářské práce: 14. července 2020

Termín odevzdání bakalářské práce: 31. července 2021

L.S.

doc. RNDr. Martin Kubala, Ph.D.
děkan

prof. RNDr. Zdeněk Dvořák, DrSc.
vedoucí katedry

UNIVERSITA PALACKÉHO V OLOMOUCI
PŘÍRODOVĚDECKÁ FAKULTA
KATEDRA BUNĚČNÉ BIOLOGIE A GENETIKY
Slezská 27, 783 71 Olomouc – Holice
tel.: +420 585 634 901
-2-

Bibliografické údaje

Jméno a příjmení autora: Petra Krňávková

Název práce: *Cross-species amplifikace mikrosatelitů z řádu trubkonosí u čápa bílého (*Ciconia ciconia*)*

Typ práce: Bakalářská

Pracoviště: Katedra buněčné biologie a genetiky, PřF UP v Olomouci

Vedoucí práce: RNDr. Petr Nádvorník, Ph.D.

Rok obhajoby práce: 2021

Souhrn:

Tato bakalářská práce se zabývá hledáním polymorfních mikrosatelitních lokusů u čápa bílého (*Ciconia ciconia*) pomocí *cross-species* PCR amplifikace.

Teoretická část se věnuje fylogenezi a charakteristice řádu brodiví a čeledi čárovití, dále popisu čápa bílého, jeho rozšíření a rozmnožování. V další kapitole jsou charakterizovány mikrosateliity a v neposlední řadě jednotlivé polymorfní mikrosateliity u druhů z řádu trubkonosí, které byly *cross-species* PCR testovány u čápa bílého.

Experimentální část se zaobírá *cross-species* PCR amplifikací s použitím 213 párů primerů, kdy 207 pocházelo od zástupců z řádu trubkonosí, 5 od zástupců z řádu dlouhokřídlí a 1 z řádu pěvci. Tyto mikrosatelitní lokusy byly testovány na genomické DNA 6 nepříbuzných jedinců čápa bílého. Pomocí *cross-species* PCR amplifikace jsem našla 18 polymorfních mikrosatelitních lokusů s počtem alel od dvou do šesti. Mikrosatelitní lokus Paequ2 neposkytl žádný produkt. Zbývajících 194 lokusů poskytlo produkt monomorfní.

Klíčová slova: Čáp bílý, mikrosateliity, *cross-species* PCR amplifikace, *Ciconia ciconia*, trubkonosí

Počet stran: 59

Počet příloh: 0

Jazyk: Český

Bibliographical identification

Author's name and surname: Petra Krňávková

Title: Cross-species amplification of microsatellites from Procellariiformes in White Stork (*Ciconia ciconia*)

Type of thesis: Bachelor

Department: Department of Cell Biology and Genetics, Faculty of Science, Palacký University Olomouc

Supervisor: RNDr. Petr Nádvorník, Ph.D.

The year of presentation: 2021

Summary:

This bachelor thesis deals with the search for polymorphic microsatellite loci in white storks (*Ciconia ciconia*) using cross-species PCR amplification.

The theoretical part deals with the phylogeny and characteristics of the order of Ciconiiformes and family Ciconiidae, further there is a description of the white stork, its distribution and reproduction. The next chapter characterizes microsatellites and polymorphic microsatellites in species from the order of the Procellariiformes, which were cross-species PCR tested in white storks.

The experimental part deals with cross-species PCR amplification using 213 pairs of primers, 207 of which were from species of the order Procellariiformes, 5 from species of the order Charadriiformes and 1 from the order Passeriformes. These microsatellites were tested on the genomic DNA of 6 unrelated white storks individuals. Using cross-species PCR amplification, I found 18 polymorphic microsatellite loci with number of alleles ranged from 2 to 6. Microsatellite loci Paequ2 did not amplified product. The remaining 194 loci gave the product monomorphic.

Keywords: White stork, microsatellites, cross-species PCR amplification, *Ciconia ciconia*, Procellariiformes

Number of pages: 59

Number of appendices: 0

Language: Czech

Prohlašuji, že jsem bakalářskou práci vypracovala samostatně pod vedením RNDr. Petra Nádvorníka, Ph.D. a za použití citovaných literárních zdrojů.

V Olomouci dne 30. 7. 2021

.....

Tímto bych ráda chtěla poděkovat vedoucímu mé bakalářské práce RNDr. Petru Nádvorníkovi, Ph.D. za veškerou pomoc, ochotu, poskytnuté materiály, věnovaný čas a odborné vedení při zpracování teoretické, a především experimentální části mé bakalářské práce.

Obsah

| | | |
|----------|--|-----------|
| 1 | Úvod | 1 |
| 2 | Cíle práce..... | 2 |
| 3 | Literární přehled | 3 |
| 3.1 | Fylogeneze a systematika rádu Ciconiiformes..... | 3 |
| 3.2 | Charakteristika rádu brodiví..... | 5 |
| 3.3 | Čeleď čápowití | 5 |
| 3.4 | Čáp bílý | 7 |
| 3.4.1 | Rozšíření a migrace čápa bílého | 8 |
| 3.4.2 | Hnízdění, rozmnožování a péče o mláďata..... | 9 |
| 3.5 | Mikrosateliity | 10 |
| 3.6 | Mikrosateliity druhů z rádu trubkonosí | 12 |
| 3.6.1 | Mikrosateliity od druhů z čeledi albatrosovití | 12 |
| 3.6.2 | Mikrosateliity od druhů z čeledi buřňákovití | 14 |
| 3.6.3 | Mikrosateliity od druhů z čeledi buřňáčkovití | 18 |
| 4 | Materiál a metody..... | 20 |
| 4.1 | Biologický materiál | 20 |
| 4.2 | Seznam použitých chemikálií | 20 |
| 4.3 | Seznam použitých roztoků | 21 |
| 4.4 | Seznam použitých laboratorních přístrojů | 22 |
| 4.5 | PCR amplifikace DNA čápa bílého | 23 |
| 4.6 | Amplifikované mikrosatelitní lokusy u čápa bílého | 24 |
| 4.7 | Zpracování PCR produktů pomocí elektroforetické separace | 26 |
| 5 | Výsledky | 29 |
| 6 | Diskuze..... | 36 |
| 7 | Závěr | 43 |
| 8 | Literatura | 44 |

Seznam obrázků

| | |
|---|----|
| Obrázek č. 1: Zařazení čeledi Ciconiidae dle Kuramoto <i>et al.</i> (2015) | 4 |
| Obrázek č. 2: Rozdělení druhů v čeledi čárovití podle Sheldon <i>et Slikas</i> (1997) a Slikas (1998)..... | 7 |
| Obrázek č. 3: Přehled 18 mikrosatelitních lokusů, které byly polymorfní u čápa bílého vzhledem ke zdrojovým druhům. | 32 |
| Obrázek č. 4: Elektroforetogram mikrosatelitního lokusu Ptero02 u šesti nepříbuzných jedinců čápa bílého. | 34 |
| Obrázek č. 5: Elektroforetogram mikrosatelitního lokusu Oc87B u šesti nepříbuzných jedinců čápa bílého. | 34 |
| Obrázek č. 6: Elektroforetogram mikrosatelitního lokusu Ptero09 u šesti nepříbuzných jedinců čápa bílého. | 34 |
| Obrázek č. 7: Elektroforetogram mikrosatelitního lokusu Pc D103 u šesti nepříbuzných jedinců čápa bílého. | 35 |

Seznam tabulek

| | |
|--|----|
| Tabulka č. 1: Složení PCR směsi pro 6 vzorků..... | 23 |
| Tabulka č. 2: Seznam mikrosatelitů od druhů z čeledi albatrosovití testovaných na polymorfismus u čápa bílého..... | 24 |
| Tabulka č. 3: Seznam mikrosatelitů od druhů z čeledi buřňákovití testovaných na polymorfismus u čápa bílého..... | 25 |
| Tabulka č. 4: Seznam mikrosatelitů od druhů z čeledi buřňáčkovití testovaných na polymorfismus u čápa bílého..... | 26 |
| Tabulka č. 5: Seznam mikrosatelitů od druhů z řádu dlouhokřídlí a pěvci testovaných na polymorfismus u čápa bílého..... | 26 |
| Tabulka č. 6: Charakteristika 18 polymorfních mikrosatelitních lokusů testovaných na 6 nepříbuzných jedincích čápa bílého..... | 30 |
| Tabulka č. 7: Genotypy 18 polymorfních mikrosatelitních lokusů u 6 nepříbuzných jedinců čápa bílého | 33 |
| Tabulka č. 8: Přehled polymorfních mikrosatelitních lokusů z řádu trubkonosí u čápa bílého (tato práce) a testy u dalších vybraných druhů z kladu Aequorlitornithes: nesyta indomalajského (Nedvědová, 2015), plameňáka karibského (Strejčková, 2018), plameňáka růžového (Zlochová, 2019), pelikána bílého (Hudzieczková, 2019), potápky roháče (Janušová, 2017), pelikána afrického (Kopečná, 2020) a kadeřavého (Verešová, 2020) | 41 |

1 Úvod

Mikrosatelity se někdy nazývají krátké tandemové repetice o typické délce jednotky 1–6 bp a patří mezi nejpopulárnější typy genetických markerů. Jejich velká využitelnost spočívá v tom, že jsou kodominantní, multialelické a vysoce polymorfní. Používají se hlavně při paternitních studiích a při studiu fylogenetické příbuznosti jedinců.

Čáp bílý je typickým zástupcem rádu brodiví. Je to zranitelný druh, který je po desítky let sledován ornitology a v laboratoři Populační genetiky Katedry buněčné biologie a genetiky Přírodovědecké fakulty Univerzity Palackého v Olomouci se již několik lidí věnovalo hledáním mikrosatelitů u tohoto druhu. Má bakalářská práce by měla najít další nové polymorfní mikrosatelity od zástupců z rádu trubkonosí pro čápa bílého.

2 Cíle práce

1. Shromáždění dostupných literárních zdrojů.
2. Vypracování rešerše na téma bakalářské práce.
3. PCR amplifikace DNA čápa bílého s využitím *cross-species* primerů pro mikrosatelity, které jsou známé u ptáků z řádu trubkonosí.

3 Literární přehled

3.1 Fylogeneze a systematika řádu Ciconiiformes

Recentní ptáky lze rozdělit na dvě základní podtřídy, a to na běžce (Palaeognathae) a na letce (Neognathae). Letci se dále dělí na dva sesterské klady, první je Galloanserae kam se řadí hrabaví (Galliformes) a vrubozobí (Anseriformes) a druhý sesterský klad je Neoaves, kam se řadí zbývající ptáci a kam patří většina vodních ptáků (Cracraft *et al.*, 2004). Mezi vodní ptáky se řadí brodiví (Ciconiiformes), dlouhokřídlí (Charadriiformes), plameňáci (Phoenicopteriformes), potáplice (Gaviiformes), trubkonosí (Procellariiformes), tučňáci (Sphenisciformes), veslonozí (Pelecaniformes) a také vrubozobí (Anseriformes) (Sibley *et al.* Alhquist, 1988; Gibb *et al.*, 2013; Wang *et al.* Clarke, 2014). Pojetí fylogeneze vodních ptáků prošlo historickým vývojem a bylo studováno mnoha autory.

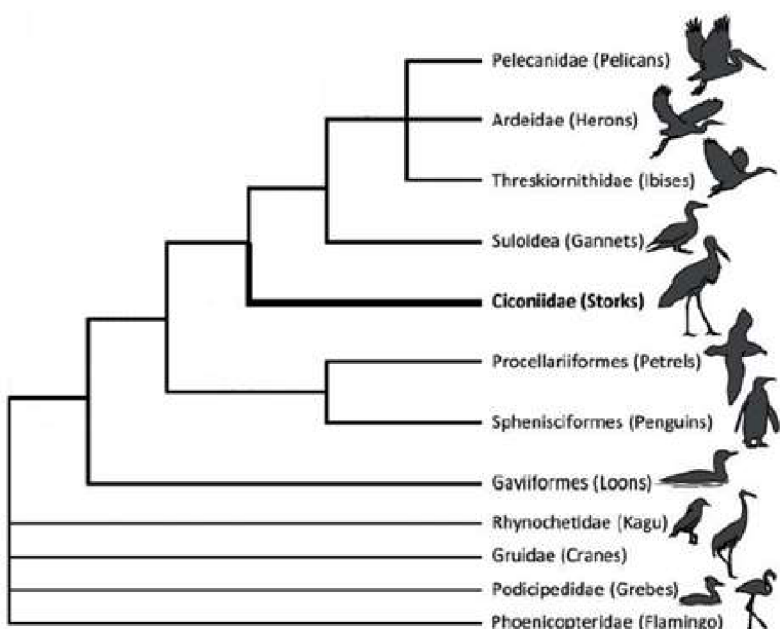
Sibley *et al.* Alhquist (1988) studovali fylogenezi ptáků na základě DNA-DNA hybridizace. Zahrnuli veslonohé a brodivé společně do jedné parafyletické skupiny a spojovali je se skupinami jako jsou tučňáci, potápky a albatrosi. Navrhli, že čárovití včetně kondorů jsou sesterskou skupinou pelikánovitých (Pelecanidae) a jejich další návrh byl, že je sesterský vztah mezi trubkonosými a tučňáky.

Podle Sheldon *et al.* Slikas (1997) tvoří řád brodivých (Ciconiiformes) čeledi čárovití (Ciconiidae), ibisovití (Threskiornithidae), volavkovití (Ardeidae), plameňákovití (Phoenicopteridae), člunozobcovití (Balaenicipitidae) a kladivoušovití (Scopidae). Většina z těchto čeledí sdílí společné znaky s členy řádů veslonohých (Pelecaniformes), dlouhokřídlých (Charadriiformes), krátkokřídlých (Gruiformes), vrubozobých (Anseriformes) a dravců (Falconiformes), což by mohlo naznačovat fylogenetickou příbuznost (Sheldon *et al.* Slikas, 1997; Cracraft *et al.*, 2004). Naopak Hackett *et al.* (2008) ve své práci neprokázali žádné příbuzenství dravců k čárovitým a řády potápky a plameňáci byly prohlášeny za sesterské taxony.

S dalším zpracováním systému vodních ptáků přišli Cracraft *et al.* (2004) a na základě jejich studie a nových molekulárních dat je pravděpodobné, že řády brodiví a veslonozí nejsou monofyletické. Veslonozí v tradičním pojetí (pelikánovití, terejovití, anhingovití, kormoránovití, fregatkovití, faetonovití) jsou rozšířeni o taxonomy, které se dříve řadily k brodivým, a to o člunozobce, kladivouše a ibisovité. Podle výsledků studie provedené Kuramoto *et al.* (2015) byla v řádu Pelecaniformes ponechána pouze čeleď

pelikánovití (Pelecanidae) a čeledi terejovití (Sulidae), kormoránovití (Phalacrocoracidae), anhingovití (Anhingidae) a fregatkovití (Fregatidae) vytvořily nový řád Suliformes. Čeleď faetonovití tvoří samostatný řád faetoni (Phaethontiformes).

Kuramoto *et al.* (2015) do svého studia fylogeneze zahrnuli retrotranspozony. Vytvořili systém vodních ptáků, kde základ tvoří čeledi pelikánovití, volavkovití a ibisovití, k nim je řazena jako sesterská skupina čeleď terejovití, která dříve patřila do řádu Pelecaniformes a další sesterskou skupinou k této celé skupině jsou čárovití. Na stejně úrovni jsou k této skupině promíchaných čeledí tradičních brodivých a veslonohých jako sesterská skupina řazeni Procellariiformes a Sphenisciformes a k tomu všemu jsou sesterskou skupinou Gaviiformes. Výsledek jejich studie naznačuje, že je řád brodiví v tradičním pojetí polyfyletický, což je v souladu s analýzami jaderného genomu. Fylogenetická pozice čárovitých stále nebyla stanovena ani přes použití molekulárních analýz. Nejprve byla čeleď čárovitých řazena do řádu Ciconiiformes společně s čeledí ibisovití. Relativně blízký vztah mezi čárovitými, volavkovitými a ibisovitými je zatím postaven na morfologických datech a srovnání sekvencí mitochondriální DNA. Co se týče čápů, díky této studii bylo navrhнуто, že někteří ptáci např. kondoři, tučňáci a plameňáci mohou být jejich sesterskou skupinou (Kuramoto *et al.*, 2015). Aktuálně jsou vztahy mezi skupinami tradičně pojatých Pelecaniformes a Ciconiiformes stále studovány a je otázkou jaké změny přinese další výzkum.



Obrázek č. 1: Zařazení čeledi Ciconiidae dle Kuramoto *et al.* (2015).

Prum *et al.* (2015) se zabývali fylogenezí skupiny Neoaves, do níž zařadili 5 hlavních kladů a to Strisores, Columbaves, Gruiformes, Inopinaves a Aequorlitornithes. Aequorlitornithes je nový komplexní klad vodních ptáků s výjimkou vrubozobých. Rozdělují je na dvě části, kdy do první řadí tučňáky, trubkonosé, potáplice, brodivé, veslonohé a dlouhokřídlé. V druhé části jsou potápky a plameňáci, kteří jsou jejich sesterskou skupinou.

V posledních několika letech dochází ke změně tradičního pojetí řádu Ciconiiformes, do něhož se řadili čárovití (Ciconiidae), volavkovití (Ardeidae), ibisovití (Threskiornithidae), člunozobcovití (Balaenicipitidae) a kladivoušovití (Scopidae). V současné době tvoří řád Ciconiiformes jediná čeleď, a to čárovití a ostatní čeledě, které dříve tvořily řád brodivých jsou nově řazeny do řádu Pelecaniformes s čeledí pelikánovití (Pelecanidae) (Gill *et Donsker*, 2021).

3.2 Charakteristika řádu brodiví

Brodiví (Ciconiiformes) v novém pojetí jsou skupinou středně velkých až velkých ptáků, kteří jsou typičtí svýma dlouhýma nohami, krkem a zobákem. Zástupci tohoto řádu obývají s výjimkou Antarktidy a severních oblastí Ameriky, Evropy a Asie všechny kontinenty (Hanzák *et Hudec*, 1963). Jejich dlouhé nohy jim slouží pro brodění v mělkých vodách, kde si také obstarávají potravu. Jako potrava jim slouží ryby, obojživelníci, měkkýši a krabi. Jsou vázáni na sladké vody a jejich okolí. Na nohou mají čtyři prsty, které jsou od sebe oddáleny, tři prsty směřují dopředu a jeden dozadu, díky tomu se jejich hmotnost při chůzi v blátě nebo v mokřinách rozloží do větší plochy. Mezi prsty nemají plovací blánu (Svensson *et Grant*, 2004). Všechny druhy patřící do tohoto řádu mají široká křídla. Při letu mají natažený krk. Mají ostrý zrak, který hlavně využívají k hledání potravy a jakmile zaregistrují kořist, okamžitě zaútočí svým dlouhým zobákem a kořist polapí. Ne všichni loví živou kořist, například čáp marabu je nekrofág, tudíž se živí mrtvými těly jiných živočichů (Burnie, 2009).

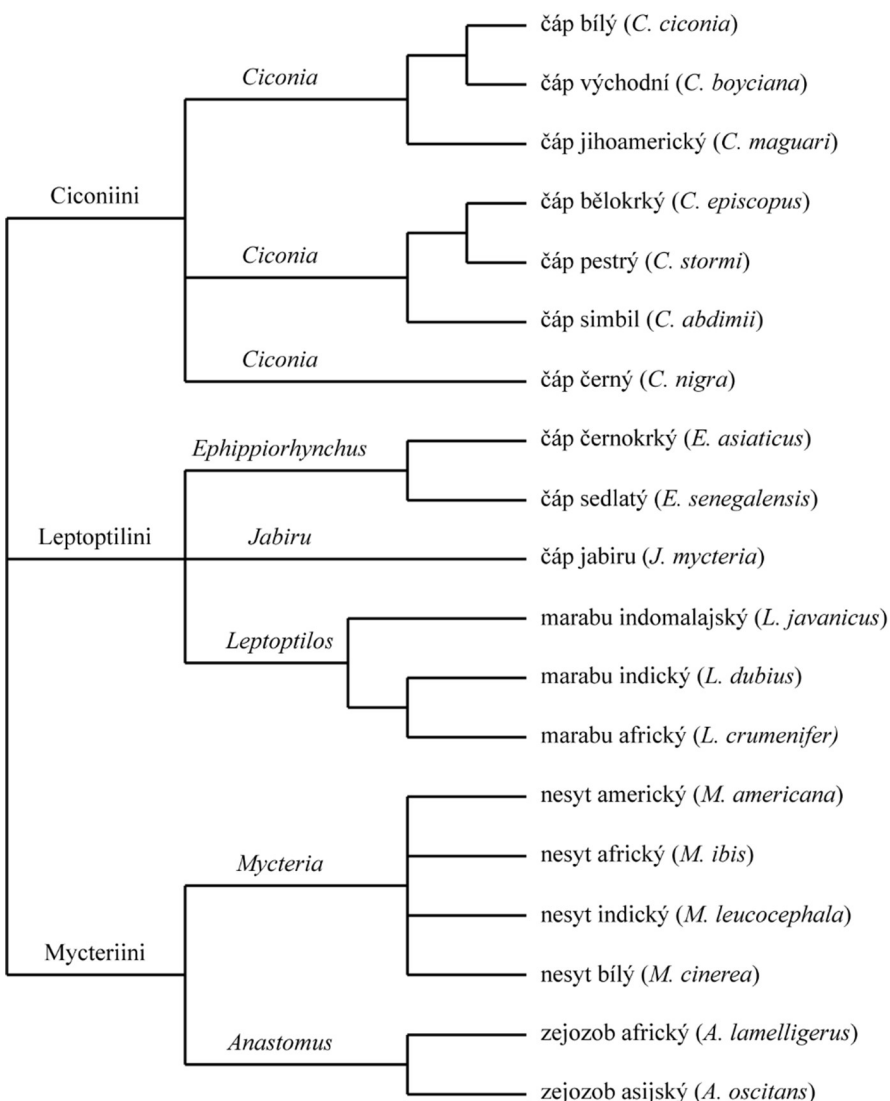
3.3 Čeleď čárovití

Čeleď čárovití (Ciconiidae) zahrnuje 19 recentních druhů, které jsou rozšířené na všech kontinentech s výjimkou chladných oblastí. Na základě studií provedených Slikasem (1997) je silně podporovaná monofylie čeledi.

Čárovití mají mohutné tělo a dlouhé nohy se čtyřmi prsty. Mají typický dlouhý krk se silným, klínovitým a na špičce ze stran zploštělým zobákem. U některých druhů

se zobák uprostřed nedovírá. Kromě syčení nevydávají žádný hlasový projev, někteří z nich mohou klapat zobákem (Gaisler *et Zima*, 2018). Hnízda si stavějí na skalách, ale také na stromech z rákosí a někteří z nich si zvykli na člověka, a proto si stavějí hnízda i na lidských obydlích a jejich okolí. Jsou to všežravci, kteří se živí hlavně živočišnou potravou, kterou loví při chůzi v mělké vodě nebo na souši (Hanzák *et Hudec*, 1963).

Čeleď čápowití zahrnuje triby Ciconiini, Leptoptilini a Mycteriini. Do prvního tribu patří pouze rod *Ciconia* se 7 druhy, a to čáp bělokrký (*C. episcopus*), bílý (*C. ciconia*), černý (*C. nigra*), jihoamerický (*C. maguari*), pestrý (*C. stormi*), simbil (*C. abdimii*) a východní (*C. boyciana*). Druhý tribus zahrnuje 3 rody se 6 druhy a to *Ephippiorhynchus*, do kterého patří čáp černokrký (*E. asiaticus*) a sedlatý (*E. senegalensis*), rod *Jabiru* s čápm jabiru (*J. mycteria*), rod marabu (*Leptoptilos*) s marabu africkým (*L. crumenifer*), indickým (*L. dubius*) a indomalajským (*L. javanicus*). Poslední tribus je tvořen 2 rody se 6 druhy, prvním rodem je nesyt (*Mycteria*), kam se řadí nesyt africký (*M. ibis*), americký (*M. americana*), bílý (*M. cinerea*) a indický (*M. leucocephala*) a druhým rodem je zejozob (*Anastomus*) se zejozobem africkým (*A. lamelligerus*) a asijským (*A. oscitans*) (viz Obrázek č. 2) (Gill *et Donsker*, 2021).



Obrázek č. 2: Rozdělení druhů v čeledi čápowití podle Sheldon *et al.* (1997) a Slikas (1998).

3.4 Čáp bílý

Systematické zařazení čápa bílého (*Ciconia ciconia*) je dle Gaisler *et al.* (2018) následující:

Říše: Animalia - živočichové

Kmen: Chordata - strunatci

Podkmen: Vertebrata - obratlovci

Třída: Aves - ptáci

Podtřída: Neognathae - letci

Řád: Ciconiiformes - brodiví

Čeleď: Ciconiidae - čápowití

Rod: *Ciconia* - čáp

Druh: *Ciconia ciconia* - čáp bílý

Čáp bílý má délku těla 95–110 cm. Hmotnost je přibližně 2,5 kg (Burnie, 2009). Rozpětí křídel je okolo dvou metrů. Je to velký pták, s dlouhým krkem a nohami a krátkým ocasem. Na zemi je nezaměnitelný, ale za letu je možné si ho splést s pelikánem bílým (Svensson *et al.*, 2004).

Jeho barva je bílá, pouze letky má černé a nohy a zobák jsou červené (Anděra, 2003). Mladí čápi mají zobák i nohy černé (Hanzák, 1974). Podle zbarvení od sebe nelze rozeznat samici od samce, ale samec je většinou o trochu větší (Hanzák *et al.*, 1963; Burnie, 2009).

Loví pomalým krokem a až když spatří kořist, rychle zaútočí svým dlouhým zobákem. Žije převážně v blízkosti mělkých vod, ve kterých se brodí, ale potravu může také lovit na souši, kde loví většinou na polích nebo loukách. Jako potrava mu slouží plazi, obojživelníci, ptáci, ale i menší savci (Veselovsky, 1987). Může se živit také hmyzem.

Jeho početnost se v Evropě v minulém století výrazně snížila. Na rozdíl od Evropy, kde jsou čápi chráněni, v Africe jsou loveni (Felix, 1977). Od 90. let jeho počty rostou, a to i v České republice (Škorpíková *et al.*, 2012). Každoročně probíhá mezinárodní sčítání populace a nejvíce čápů se nachází v Polsku, Španělsku a Bělorusku (Lacina *et al.*, 2002).

Čáp bílý je zařazen mezi zvláště chráněné druhy a řadí se do kategorie „málo dotčený“.

3.4.1 Rozšíření a migrace čápa bílého

Čáp bílý je rozšířen v Evropě, v Asii a v Africe (Anděra, 2003; Burnie, 2009). V době jeho hnizdění se nejvíce vyskytuje v Evropě, nenachází se v západní Francii, ve Velké Británii, v Itálii a také ve Skandinávii. Dále se nachází v Asii, a to v Izraeli, v Iránu, Iráku a v Zakavkazí. Hnízdí hlavně v Evropě, v severozápadní Africe (Maroko, Tunisko, Alžírsko), Malé a Střední Asii a na Dálném východě (Hanzák, 1974). V České republice a na Slovensku hnízdí většinou v oblastech bohatých na rybníky a bažiny, tudíž v jižních Čechách, na jižní Moravě a na Pardubicku (Hanzák *et al.*, 1963; Anděra, 2003).

Je to tažný pták, evropské populace zimují v jižní Africe, zatímco asijskí čápi zimují v Indii (Svensson *et al.*, 2004). Pomocí kroužkování čápů je možné čapy kontrolovat, aniž by se museli lovit nebo usmrýt a je možné sledovat, kam čápi táhnou. Bylo zjištěno, že ptáci ze západní Evropy letí do Afriky přes Španělsko, Gibraltar a Saharu, zatímco čápi z východní Evropy letí přes Balkán, Malou Asii a Izrael. Za jeden den urazí něco mezi 100 až 300 km (Bouchner, 1986). Při jarním návratu urazí čápi denně přibližně 150 km. Cesta do zimovišť jim zabere přibližně tři měsíce a celkově urazí přibližně 13 000 km. Důvodem, že se čápi nemusí vrátit ze svých zimovišť, jsou stepní požáry, krupobití, ale také nedostatek potravy. Nad mořem táhnou většinou ve výšce 5 až 15 metrů nad hladinou, což je pro ně také velmi nebezpečné z důvodu pádu do vody a následného utopení (Hanzák *et al.*, 1963).

3.4.2 Hnízdění, rozmnožování a péče o mláďata

Původně čap bílý hnizdil na vysokých stromech, ale ve velké části Evropy se stal synantropním druhem, a proto dnes hnizdí spíše na lidských stavbách jako jsou komíny, střechy budov a sloupy elektrického vedení ve výškách do 45 m (Anděra, 2003). Na Balkáně stále zůstává věrný původní strategii a hnizdí na starých osamělých stromech (Hanzák *et al.*, 1963).

Hnízdo má v průměru až 80 cm a jeho výška je 30–40 cm, díky užívání hnizda po dobu několika let, může dosahovat v průměru až 2 m (Anděra, 2003). Po zimě se v České republice čápi začínají objevovat na začátku jara na přelomu března a dubna v závislosti na vývoji počasí v daném roce, kdy jako první přiletí samec, který hnizdo obsadí a chrání ho před cizími samci (Hanzák, 1974) a začíná s opravou starého hnizda, anebo staví hnizdo nové. Je to stavba složená z větví, hlíny, drnů, hadrů a trávy (Bouchner, 1986). Pár, který hnizdo postavil, ho většinou využívá každý rok a když má o hnizdo zájem jiný pár, může dojít i k boji, při kterém může být protivník i zabit (Felix, 1977).

Samice obvykle snáší 1–5 vajec a často v hnizdě nalézají domov i jiní ptáci, např. vrabci (Anděra, 2003). Snůška probíhá na přelomu dubna a května (Bouchner, 1986). V sezení na vejcích se střídají oba rodiče po dobu 30 až 40 dní (Felix, 1977). Po vylíhnutí nadále chrání svá mláďata před srážkami, chladem nebo případným horkem (Hanzák, 1974). Starost o mláďata trvá asi 70 dní, rodiče se střídají na hnizdě, když jeden přilétne, druhý odlétne. Pouze v noci jsou v hnizdě přítomni oba rodiče. V prvních 16 dnech se střídají asi po 2 hodinách, později to už nedodržují a samec asi po 22. až 24. dni opouští

hnízdo, i když samice není přítomna, ta to začne praktikovat až po 30. dni (Hanzák *et al.*, 1963). I na krmení se podílejí oba rodiče, kdy se mláďata krmí sama, pomocí vývržků v hnízdě (Bouchner, 1986). V době hnízdění se může kromě žab živit také malými obratlovci, měkkýši nebo červy. Čápata zůstávají v hnízdě po dobu dvou měsíců. Když mají asi 70 dnů, začínají se osamostatňovat (Hanzák, 1974).

Když je nedostatek potravy, může se stát, že nejmladší mládě zeslábne a přestane přijímat potravu a v tu chvíli ho rodiče začnou považovat za cizí a vyhodí ho z hnízda, někdy ho i zkonzumují. Mláďata se učí létat v hnízdě sama, kdy kolem 60. dne podstoupí svůj první let. Mladí čápi dospívají pohlavně až kolem třetího roku života (Hanzák *et al.*, 1963).

3.5 Mikrosatelity

Mikrosatelity jsou někdy nazývány jako jednoduché opakující se sekvence (SSRs) nebo také jako krátké tandemové repetice (STRs) ve kterých se opakuje specifický motiv 1–6 bp (Goldstein *et al.*, 1997). V současné době jsou jedním z nejpopulárnějších typů genetických markerů používaných v genetických studiích, v konzervační genetice, populační genetice, ve šlechtitelství a paternitních studiích (Oliveira *et al.*, 2006; Barbará *et al.*, 2007). Tolik možností využití mikrosatelitů spočívá v tom, že jsou kodominantní a multialelické. Kromě jejich vysoké variability jsou také hojně distribuovány v eukaryotických genomech, což z nich dělá preferované markery pro genetické mapování s velmi vysokým rozlišením (Goldstein *et al.*, 1997). Mikrosatelity lze úspěšně použít pro genotypizaci vzorků s nízkou koncentrací nebo kvalitou DNA (Dawson *et al.*, 2013). U prokaryot jsou mikrosatelity přítomny v malém počtu. Aby byl polymorfní mikrosatelit co nejlépe informačně využitelný, měl by mít co nejvíce alel a měl by v populaci vykazovat vysokou heterozygotnost (Ellegren, 2004).

Podle typu opakování Oliveira *et al.* (2006) rozdělili mikrosatelity na dokonalé, nedokonalé, přerušované nebo složené. V dokonalém mikrosatelitu není opakovaná sekvence přerušena žádnou bází (TATATATATATATA), zatímco v nedokonalém mikrosatelitu je přítomna báze, která neodpovídá danému motivu (TATATATACTATATA). V případě přerušovaného mikrosatelitu je přítomna krátká sekvence, která neodpovídá sekvenci motivu (TATATACCTGTATATATA) a ve složeném mikrosatelitu je mikrosatelit tvořen ze dvou různých repetitivech sekvencí (TATATATATAGTGTGTGT). Tóth *et al.* (2000) rozdělili mikrosatelity na mono-,

di-, tri-, tetra-, penta-, hexa- a polynukleotidové sekvence. Mono-, di-, tri- a tetranukleotidové repetice jsou hlavními typy mikrosatelitů. Převážná část jednoduchých opakování se nachází v nekódující DNA, buď v intergenních sekvencích nebo v intronech (Ellegren, 2004). V exonech jsou nejčastěji přítomné trinukleotidové repetice a druhé nejčastěji zastoupené jsou hexanukleotidové repetice. V intergenních oblastech a u intronů se častěji vyskytují mikrosatelity s hexanukleotidovými repeticemi než u exonů (Tóth *et al.*, 2000).

Četnost výskytu mikrosatelitů má tendenci pozitivně korelovat s velikostí genomu. Mezi eukaryotickými genomy je nejvyšší četnost mikrosatelitů u savců. V rostlinách četnost výskytu mikrosatelitů negativně koreluje s velikostí genomu. (Ellegren, 2004).

Rychlosť mutace mikrosatelitů je mnohem vyšší než v jiných částech genomu a je v rozmezí 10^{-2} – 10^{-6} nukleotidů na jeden lokus na jednu generaci (Sia *et al.*, 2000). Důvodem vysoké rychlosti mutace jsou chyby během rekombinace, nerovnoměrný crossing-over a sklouznutí polymerázy během replikace nebo opravy DNA (Strand *et al.*, 1993). Neexistuje jednotná rychlosť mutace mikrosatelitů, rychlosť se liší mezi lokusy a mezi alelami. Nejdůležitějším faktorem ovlivňujícím rychlosť mutace je délka mikrosatelitu, kdy se rychlosť mutace zvyšuje se zvyšujícím se počtem opakujících se jednotek (Ellegren, 2004).

Vývoj specifických mikrosatelitních primerů je velmi nákladný, nicméně se ukázalo, že páry primerů, které jsou určené pro jeden druh, lze použít i pro jiné druhy stejného rodu a tato vlastnost mikrosatelitů je známá jako *cross-species* PCR amplifikace. *Cross-species* PCR amplifikace může být velmi důležitým faktorem při usnadnění využití mikrosatelitů, protože snižuje pracnost, zkracuje čas hledání mikrosatelitů a zlevňuje náklady při práci. Úspěšná převoditelnost primerů pro amplifikaci mikrosatelitů klesá s fylogenetickou vzdáleností druhů. Ve srovnání s jinými skupinami markerů (AFLP, RFLP, RAPD) jsou mikrosatelity vysoce polymorfní (Oliveira *et al.*, 2006).

Mikrosatelitní lokusy jsou mnohem méně hojně u ptáků než u některých jiných tříd živočichů, jako jsou savci a ryby (Neff *et Gross* 2001), praktické výhody *cross-species* PCR amplifikace jsou u ptáků pravděpodobně nejdůležitější. Studie na ptácích proto běžně používají protokoly obohacování k izolaci dostatečného množství

mikrosatelitních lokusů (Dawson *et al.*, 2010). U ptáků se mikrosateliity používají především pro analýzu rodičovství (Dawson *et al.*, 1997).

3.6 Mikrosateliity druhů z řádu trubkonosí

Řád trubkonosí se dělí do čtyř čeledí, a to na albatrosovité (Diomedeidae), buřňákovité (Procellariidae), buřňáčkovité (Hydrobatidae) a buřníkovité (Pelecanoididae). Laboratoř populační genetiky Katedry buněčné biologie a genetiky Přírodovědecké fakulty Univerzity Palackého v Olomouci disponuje celkově 207 páry primerů od druhů z řádu trubkonosí. Z čeledi albatrosovití to je 53 mikrosateliítů od 7 druhů. Z čeledi buřňákovití 100 mikrosateliítů, které jsou popsány u 9 druhů. V rámci buřňáčkovitých to je 54 mikrosateliítů od 3 druhů. Od zástupců z čeledi buřníkovití Laboratoř populační genetiky nedisponuje žádnými mikrosateliity. Dalších 6 mikrosateliítů, které byly úspěšně použity u druhů z řádu trubkonosí jako *cross-species* pocházelo od druhů z řádu dlouhokřídlí (Charadriiformes) od alkouna obecného (*Cephus grylle*), kulíka mořského (*Charadrius alexandrinus*) a racka novozélandského (*Chroicocephalus novaehollandiae scopulimus*) a 1 mikrosateliít z řádu pěvci (Passeriformes) od lesňáčka žlutonohého (*Dendroica petechia*).

3.6.1 Mikrosateliity od druhů z čeledi albatrosovití

Z čeledi albatrosovití disponuje laboratoř 53 mikrosateliity, které byly popsány v 5 článcích a izolovány od 7 druhů - albatrose stěhovavého (*Diomedea exulans*), jižního (*D. antipodensis*), šedohlavého (*Thalassarche chrysostoma*), černobrvvého (*T. melanophris*), bělohrbetého (*Phoebastria albatrus*), černonohého (*P. nigripes*) a laysanského (*P. immutabilis*).

Burg (1999) charakterizovala 26 polymorfních mikrosatelitních lokusů, které byly izolovány ze dvou druhů, a to od albatrose šedohlavého a albatrose stěhovavého. Genomická DNA byla štěpena restrikční endonukleázou a vybrané fragmenty o velikosti 300–800 bp byly ligovány do plazmidu a poté byly transformovány do *E. coli*. Pomocí sondy (AC)₁₅ byly vybrány fragmenty s repeticemi a byla zkonstruovaná knihovna. Primery byly navrženy z 31 mikrosatelitních sekvencí a z nich vybrali 26, které poskytly PCR produkt. *Cross-species* PCR amplifikace byla prováděna s použitím DNA z albatrose šedohlavého, černobrvvého a stěhovavého. 21 lokusů bylo polymorfních u jednoho nebo více druhů a úroveň polymorfismu byla v rozmezí 2–11 alel. Pouze dva

lokusy (Dc10 a Dc19) se nepodařilo amplifikovat u albatrose stěhovavého, ale byly úspěšně amplifikovány u dalších dvou druhů.

Burg *et Croxall* (2001) zkoumali strukturu populace černobrvých, campbellských a šedohlavých albatrosů pomocí mtDNA a mikrosatelitních analýz. Vzorky krve byly odebrány od albatrosů žijících na šesti různých ostrovech v Jižním oceánu a genomická DNA byla izolována z krve modifikovanou extrakcí pomocí Chelexu. Z 37 lokusů, které byly izolovány z albatrosů, bylo použito sedm, které již dříve popsala Burg (1999). Těchto sedm mikrosatelitových lokusů obsahovalo 4–13 alel u albatrosů černobrvých a 5–12 alel u albatrosů šedohlavých. Navíc použili nový mikrosatelitní lokus De35, pro který bylo nalezeno u albatrose černobrvého 12 alel a u albatrose šedohlavého 22 alel.

Burg *et Croxall* (2004) se zabývali taxonomií a fylogenetickými vztahy vybraných druhů albatrosů. Využili mtDNA a 9 mikrosatelitních lokusů u čtyř druhů (albatros jižní, stěhovavý, Gibsonův a tristanský). Krevní vzorky byly získány z dospělých albatrosů stěhovavých žijících na sedmi ostrovech v oblasti Jižního oceánu. Genomická DNA byla izolována z krve. Celkem 772 vzorků bylo genotypováno na 9 mikrosatelitních lokusech-De3, Dc5, De11, Dc16, De18, Dc20, Dc27 a De33, které byly už dříve popsány Burg (1999) a nově De37, který vykazoval u všech druhů polymorfismus se 6 a 7 alelami. Bylo zjištěno, že De33 je pohlavně vázaný a autoři jej pro další analýzu nepoužili.

Dubois *et al.* (2005) popsali 10 variabilních dinukleotidových mikrosatelitů u albatrose stěhovavého. DNA byla extrahována z krevních vzorků. Celkově bylo testováno 1248 klonů, z nichž 254 poskytlo pozitivní signál. 15 lokusů s největším počtem nepřetržitě opakujících se sekvencí bylo použito pro další amplifikaci. Jejich variabilita byla hodnocena u tří populací z Crozetových ostrovů a souostroví Kergueleny. Deset z 15 lokusů bylo polymorfních, se 2–13 alelami. *Cross-species* PCR amplifikace mikrosatelitů albatrose stěhovavého byla provedena u 5 jedinců, ze tří dalších druhů trubkonosých, a to u buřňáka Bulwerova, šedého a sněžného. U buřňáka Bulwerova a sněžného se amplifikovalo 8 mikrosatelitů a lokusy 6F12 a 7D18 se neamplifikovaly vůbec. U buřňáka Bulwerova vykazovalo polymorfismus 5 lokusů a buřňáka sněžného 3 lokusy. U buřňáka šedého byly všechny lokusy monomorfní. Počet alel u polymorfních lokusů autoři neuvedli.

Hernandez *et al.* (2014) popsali 15 polymorfních mikrosatelitních lokusů u tří druhů, a to u albatrose černonohého, bělohřbetého a laysanského. Genomická DNA byla

extrahována ze svalové tkáně 36 jedinců albatrose černonohého, 12 jedinců albatrose laysanského a 3 jedinců albatrose bělohrbetého a byly sestaveny genomové knihovny. Testováním 16 párů primerů bylo 13 polymorfních lokusů s 2–18 alelami u albatrose černonohého i laysanského a 14 polymorfních lokusů s 2–7 alelami u albatrose bělohrbetého.

3.6.2 Mikrosateličity od druhů z čeledi buřňákovití

Z čeledi buřňákovití laboratoř disponuje 100 polymorfními mikrosateličity, které byly popsány v 10 článcích a byly izolovány od 9 druhů - buřňáka bělobradého (*Procellaria aequinoctialis*), šedého (*Calonectris diomedea*), taiko (*Pterodroma magentae*), trinidadského (*P. arminjoniana*), havajského (*P. sandwichensis*), baleárského (*Puffinus mauretanicus*), světlonožného (*P. carneipes*) Bulwerova (*Bulweria bulwerii*) a útlozobého (*Pachyptila belcheri*).

Techow *et al.* (2004) izolovali a charakterizovali šest polymorfních dinukleotidových mikrosatelitních lokusů od buřňáka bělobradého. Z tkáně odebrané z buřňáka bělobradého byla DNA izolována pomocí fenol-chloroformové metody a následného srážení s ethanolem. Byla sestrojena genomová knihovna, která byla obohacena o fragmenty DNA, které měly $(CA)_n$ repetitivní sekvence. Z 21 sekvenovaných rekombinantních plazmidů, 17 obsahovalo mikrosateličity. Pro 10 mikrosatelitů byly navrženy primery. Variabilita byla hodnocena u 68 jedinců buřňáka bělobradého, kdy 6 lokusů bylo polymorfních a obsahovalo 3–9 alel. Tyto mikrosateličity byly následně testovány pomocí *cross-species* PCR amplifikace u buřňáka tristanského, obrovského a Hallova, albatrose stěhovavého, šedohlavého a černobrvého. Lokus Paequ2 se podařilo amplifikovat u všech druhů a byl polymorfní u buřňáka tristanského a u albatrose šedohlavého a černobrvého. Paequ3 a Paequ10 vykazovaly polymorfismus u všech druhů s výjimkou albatrose stěhovavého, zde se nepodařila amplifikace vůbec. Paequ4 byl polymorfní u buřňáka obrovského a Hallova. Paequ7 byl polymorfní u buřňáka tristanského a obrovského. Paequ8 vykazoval polymorfismus u buřňáka tristanského a albatrose šedohlavého. A poslední Paequ13 se podařilo amplifikovat u tří druhů, a to u buřňáka tristanského, albatrose stěhovavého a albatrose šedohlavého, kde ve všech případech byl polymorfní.

Lawrence (2008) nalezla dva polymorfní mikrosatelitní lokusy u buřňáka taiko. DNA byla získána ze vzorků krve od 145 jedinců pomocí fenol-chloroformové extrakce.

Poté byla sestavena genomická knihovna, která byla obohacena o repetice GT, GA, AAT, AAAG a GATA. Celkově bylo testováno 2016 klonů a 99 z nich obsahovalo mikrosateliity. Pouze 9 z nich obsahovalo vhodnou sekvenci a byly pro ně navrženy páry primerů. Poté proběhla PCR amplifikace na čtyřech lokusech, z nichž tři byly polymorfní. Nicméně dva byly poté z analýzy odebrány, protože jeden obsahoval nulové alely a nebyl pro analýzu vhodný, u druhého se jednalo o polymorfismus způsobený vzácnou inzercí nebo delecí. Pro další analýzy zůstal jen lokus Tch6 se dvěma alelami. Dále autorka navrhla další páry primerů pro 9 mikrosatelitních DNA lokusů, z nichž se šest amplifikovalo, ale pouze jeden byl polymorfní, a to lokus Tch25 se čtyřmi alelami.

U buřňáka šedého popsali Bried *et al.* (2008) 11 polymorfních mikrosatelitních lokusů. Variabilita těchto mikrosatelitů byla hodnocena na populaci 43 jedinců buřňáka šedého, která pocházela z Azorských ostrovů. Genomická DNA byla extrahována ze vzorků krve. Bylo testováno 3036 klonů a bylo osekvenováno 262 pozitivních klonů. 15 lokusů s největším počtem nepřerušovaných sekvencí bylo použito pro další amplifikaci. 11 z 15 lokusů bylo polymorfních a vykazovaly 2–8 alel. Lokus Cd4 byl u všech samic homozygotní. Dále byla provedena *cross-species* PCR amplifikace u dalších tří druhů, a to u albatrose stěhovavého, buřňáka bělobradého a Bulwerova. U albatrose stěhovavého došlo k amplifikaci pouze 5 lokusů, z nichž 1 byl polymorfní, u buřňáka bělobradého bylo amplifikováno 7 lokusů a 2 z nich byly polymorfní. Největší počet amplifikovaných lokusů byl zaznamenán u buřňáka Bulwerova, kdy došlo k amplifikaci všech 11 lokusů a 10 z nich bylo polymorfních.

Od buřňáka baleárského izolovali Gonzalez *et al.* (2009) 10 polymorfních mikrosatelitních lokusů. Genomická DNA byla extrahovaná z tkáně pomocí fenol-chloroformu a proteinázy K a následně byla štěpena pomocí restrikčních enzymů a ligována. DNA byla obohacena o CA a AAAG repetice a následně byla ligována do vektoru a transformovaná do *E. coli*. Bylo vybráno 23 mikrosatelitů pro které byly navrhny páry primerů. Polymorfismus byl hodnocen u 55 jedinců buřňáka baleárského pocházejících ze dvou lokalit na Baleárských ostrovech, a to z Cabrery a Ibize. Pouze 10 lokusů bylo polymorfních se 2–10 alelami a jeden z nich (Puff Sma6) byl vázán na pohlaví. Dále byla provedena *cross-species* PCR amplifikace u 23 jedinců buřňáka středomořského, u kterých všechny tyto vyvinuté markery byly úspěšně amplifikovány a pouze lokus Puff G2F byl monomorfní, ostatní lokusy byly polymorfní se 2–9 alelami.

Brown *et Jordan* (2009) charakterizovali šest mikrosatelitních lokusů u buřňáka trinidadského. Vzorky byly odebrány ze tří mrtvých mláďat na Kulatém ostrově v roce 2005. Celková genomická DNA byla izolována z tkání pomocí fenol-chloroformové extrakce. Byla vytvořena genomická knihovna obohacená o $(CA)_n$ a $(CAGA)_n$ repetice. Plazmidy obsahující inzerty byly sekvenovány a byly pro ně navrženy primery. Ze 43 testovaných lokusů byly pouze 3 (Parm01–Parm03) polymorfní se 4–10 alelami. Další tři (Parm04–Parm06) byly monomorfní. Všech 6 lokusů bylo testováno na 125 jedincích 17 druhů z řádu trubkonosí a 8 jedincích tučňáka žlutorohého. Buřňák trinidadský byl také testován na *cross-species* PCR amplifikaci pomocí primerů vyvinutých pro 53 mikrosatelitních lokusů izolovaných z buřňáka bělobradého, albatrose stěhovavého a šedohlavého a kulíka mořského. Bylo zjištěno, že 6 lokusů je polymorfních a to Paequ3, Paequ13 (Techow *et O’Ryan*, 2004), 10C5 a 12H8 (Dubois *et al.*, 2005) De11 (Burg, 1999) a Calex-01 od kulíka mořského (*Charadrius alexandrinus*) (Küpper *et al.*, 2007).

Andris *et al.* (2010) popsali 11 nových mikrosatelitních lokusů u buřňáka Bulwerova. Genomická DNA byla extrahovaná ze vzorků krve. Mikrosatelitní lokusy byly izolovány z obohacené knihovny o $(TG)_{10}$ a $(TC)_{10}$ repetice. Celkově bylo prověřeno 768 klonů a 352 pozitivních klonů bylo sekvenováno. 25 lokusů s největším počtem nepřerušovaných sekvencí bylo použito pro další analýzu. Variabilita byla testována u 91 jedinců buřňáka Bulwerova z ostrova Vila. 24 z 25 lokusů bylo polymorfních, ale vybrali pouze 11 z nich. Počet alel byl 2–8. Žádná z testovaných samic nebyla heterozygotní pro lokus Bb11, tím lze předpokládat, že je tento mikrosatelit vázaný na pohlaví. Také provedli *cross-species* PCR amplifikaci u tří dalších druhů z řádu trubkonosí a to u buřňáka modravého (*Halobaena caerulea*), bělobradého (*Procellaria aequinoctialis*) a buřňáčka Monteirova (*Oceanodroma monteiroi*). Pouze lokusy Bb11 a Bb22 vykazovaly polymorfismus u všech druhů a počty alel autoři neuvedli.

U buřňáka havajského Welch *et Fleischer* (2011) izolovali 10 polymorfních mikrosatelitních lokusů. Genomická DNA byla extrahována ze vzorků tkáně jednoho samce a jedné samice. DNA byla štěpena na fragmenty o velikosti 200–1000 bp, které byly následně ligovány a poté amplifikovány. Knihovna byla obohacena o fragmenty s mikrosatelitními repeticemi $(CA)_{10}$, $(AAAG)_5$, $(AAAC)_5$ a $(AGAGG)_5$. Fragmenty byly ligovány do plazmidů a poté transformovány do *E. coli*. Primery byly navrženy pro 54 klonů. Tyto primery byly testovány na 15 jedincích buřňáka havajského a 10 z nich bylo vyhodnoceno jako polymorfní s 3–10 alelami. Pomocí *cross-species* PCR amplifikace

bylo také u buřňáka havajského testováno 37 již popsaných párů primerů od druhů z řádů trubkonosí, pěvci a dlouhokřídli (Dawson *et al.*, 1997; Burg, 1999; Given *et al.*, 2002; Techow *et O’Ryan*, 2004; Friesen *et al.*, 2006; Bried *et al.*, 2008; Gonzalez *et al.*, 2008; Brown *et Jordan*, 2009).

Quillfeldt *et al.* (2012) popsali 7 polymorfních mikrosatelitních lokusů u buřňáka útlozobého. Studie byla provedena v období rozmnožování na přelomu let 2006 a 2007 na Falklandských ostrovech. Genomická DNA byla extrahovaná ze vzorků peří (25 dospělých jedinců) a vzorků krve (43 dospělých jedinců a 34 mláďat). Sedm párů primerů amplifikovalo polymorfní produkty, které vykazovaly polymorfismus u 10 vybraných jedinců. Ze 7 mikrosatelitů dva nebyly vhodné pro analýzu otcovství, a to konkrétně Patbel2 a Patbel5. U Patbel2 bylo hodnoceno celkově 16 alel, ale jejich problematická rozlišitelnost vedla ke zvýšené pravděpodobnosti vzniku chyb. U Patbel5 bylo zjištěno, že je homozygotní pro všechny samice a heterozygotní pro všechny samce, proto je tento mikrosatelit s největší pravděpodobností vázaný na chromozom Z.

Hardesty *et al.* (2013) objevili u buřňáka světlonohého 11 polymorfních mikrosatelitních lokusů. Genomická DNA byla extrahována ze 46 jedinců, a to pomocí jejich krve nebo peří z kolonií na ostrově Lord Howe u Nového Jižního Walesu v Austrálii, 20 jedinců bylo z Nového Zélandu, 5 ze Západní Austrálie a 13 neznámého původu. DNA byla rozštěpena pomocí restrikčních enzymů. Fragmenty o velikosti 300–750 bp byly upraveny a byla sestavena genomová knihovna obohacená o fragmenty obsahující repetice (AAC)₁₂, (CAG)₁₀, (CATC)₈ a (TAGA)₈. Molekuly byly amplifikovány a rozštěpeny a výsledné fragmenty byly ligovány do klonovacího místa plazmidu. Při testování 84 jedinců ze tří odlišných populací a dalších 13 jedinců neznámého původu, vykazovalo všech 11 lokusů polymorfismus se 3–13 alelami.

Moodley *et al.* (2015) vyvinuli sadu 25 polymorfních mikrosatelitních markerů pomocí shotgun sekvenování genomu buřňáka útlozobého. Genomická DNA byla získána z krve, svalové tkáně a brků per. Páry primerů byly navrženy pomocí programu Primer 3. Bylo testováno 36 párů primerů na *cross-species* PCR amplifikaci a polymorfismus mezi dalšími čtyřmi nepříbuznými jedinci buřňáka útlozobého a třemi jedinci buřňáka holubího bylo 26 lokusů identifikováno jako polymorfních. Bylo zjištěno, že lokus Pacbel_00829 je ve významné vazbě s lokusem Pacbel_03731 a Pacbel_08509, proto byl z dalších analýz vyřazen. Polymorfismus byl testován u 77 jedinců buřňáka

útlozobého ze souostroví Kergueleny, Falklandy a ostrova Noir, kdy největší polymorfismus byl na lokusu Pacbel_03731 u kterého bylo zjištěno 48 alel. Následným testováním těchto mikrosatelitů *cross-species* PCR amplifikací u buřňáka širokozobého (*P. vittata*), holubího (*Pachyptila desolata*), Salvinova (*P. salvini*), hrdliččího (*P. turtur*), modravého (*Halobaena caerulea*) a buřňáčka Wilsonova (*Oceanites oceanicus*) byl zjištěn největší polymorfismus na lokusu Pacbel_03731 s 51 alelami.

3.6.3 Mikrosateliť od druhů z čeledi buřňáčkovití

Z čeledi buřňáčkovití laboratoř disponuje 54 páry primerů, které byly popsány ve 3 článcích u 3 druhů – buřňáčka dlouhokřídlého (*Oceanodroma leucorhoa*), madeirského (*O. castro*) a Monteirova (*O. monteiroi*).

Sun *et al.* (2009) vyvinuli primery pro 10 mikrosatelitních lokusů od buřňáčka dlouhokřídlého a buřňáčka madeirského. Genomická knihovna byla vytvořena ze 7 zmrazených vzorků krve jedinců buřňáčka madeirského. DNA byla štěpena restrikčním enzymem za vzniku fragmentů o velikosti 200–1200 bp. Fragmenty byly defosforylovány a ligovány. Hybridizovaný produkt byl obohacen pomocí směsi tří biotinylovaných oligonukleotidových sond: (AC)₁₃, (AG)₁₃ a (GAA)₈. Hybridizovaná DNA byla izolována a byla sestavena knihovna 96 klonů, z nichž 53 bylo sekvenováno. Variabilita byla testována u 27 buřňáčků madeirských, 22 buřňáčků Monteirových z Azorských ostrovů a u 24 buřňáčků dlouhokřídlých z Norska. U buřňáčků madeirských a Monteirových bylo 9 lokusů polymorfních se 2–11 alelami a u buřňáčků dlouhokřídlých bylo 8 lokusů polymorfních se 2–9 alelami. *Cross-species* PCR amplifikace byla testována na buřňáčku galapážském a límcovém a na buřňáku tmavohřbetém. Produkty amplifikace byly získány pro všechny lokusy s výjimkou Oc64B a Oc79-2. Informace o polymorfismus a počtu alel autoři neuvádějí.

U buřňáčka dlouhokřídlého popsali Bicknell *et al.* (2011) celkem 26 polymorfních mikrosatelitních lokusů, které byly získány od 24 nepříbuzných jedinců na kanadském ostrově Gull. Genomická DNA byla získána z krve. Genomová knihovna byla obohacena o fragmenty s repeticemi (GT)_n, (CT)_n, (GTAA)_n, (CTAA)_n, (TTTC)_n a (GATA)_n. Páry primerů byly navrženy pro 50 jedinečných mikrosatelitních sekvencí a ty byly otestovány na 4–6 nepříbuzných jedincích buřňáčka dlouhokřídlého. Z 50 nových lokusů se 6 neamplifikovalo, 18 bylo monomorfních a 26 polymorfních. Dále na jedincích otestovali 47 lokusů, které již dříve byly popsány Dawson *et al.* (2010). Ze 47 lokusů se

2 lokusy neamplifikovaly nebo vznikly nespecifické produkty, 30 bylo monomorfních a 15 polymorfních, jejichž páry primerů byly odvozeny z DNA buřňáčka madeirského a zebřičky pestré (Sun *et al.*, 2009). Celkem 41 polymorfních lokusů bylo následně testováno na 24 nepříbuzných jedincích (14 samců a 10 samic), u nichž se vyskytovaly ve 2–22 alelách. Zjistili, že lokusy Ole16, O110-39, Ole12 a Ole26 jsou vázány na chromozom Z.

Bried *et al.* (2012) popsali 18 nových mikrosatelitních lokusů u buřňáčka Monteirova. DNA byla extrahována z jednotlivých vzorků krve. Mikrosatelitní lokusy byly izolovány z obohacených knihoven. Dvacet sedm lokusů s největším počtem nepřetržitě se opakujících sekvencí bylo použito pro další analýzy. Nicméně pouze 18 z nich bylo zachováno, protože u nich nebyly problémy během amplifikace a heterozygotnost byla dostatečná. Variabilita na těchto 18 lokusech byla zkoumána na 125 dospělých jedincích buřňáčka Monteirova z ostrůvku Praia. Na jeden lokus bylo detekováno 4–17 alel. Žádná z 65 samic nebyla v lokusu Omn23 heterozygotní. Také provedli mezidruhovou PCR amplifikaci u buřňáčka madeirského (*O. castro*), buřňáka modravého (*Halobaena caerulea*) a buřňáka Bulwerova (*Bulweria bulwerii*). Mezidruhová amplifikace byla nejúspěšnější u buřňáčka madeirského, kde vykazovalo polymorfismus sedmnáct lokusů se 2–6 alelami. U buřňáka Bulwerova vykazovaly polymorfismus tři lokusy se dvěma alelami, u buřňáka modravého dva lokusy se dvěma a šesti alelami.

4 Materiál a metody

4.1 Biologický materiál

Biologický materiál pro analýzu pocházel od různých mláďat čápa bílého (*Ciconia ciconia*), která byla odchycena na území České republiky. Z odebrané krve šesti nepříbuzných jedinců byla vyizolována genomická DNA vedoucím mé bakalářské práce za použití fenol-chloroformové metody. Koncentrace izolované DNA, která byla rozpuštěna v TE pufru se pohybovala v rozmezí od 10 do 50 µg/ml.

4.2 Seznam použitých chemikálií

- Akrylamid (Sigma)
- aTaq DNA polymeráza (5 U/µl), M1241 (Promega)
- Bromfenolová modř (Serva)
- dNTPs (100 mmol/l, 400 µl každého), U1240 (Promega)
- Deionizovaná voda
- Dusičnan stříbrný (Sigma)
- Ethanol - 96% roztok (Lihovar Vrbátky)
- Ethylendiaminotetraoctan sodný (Na₂EDTA) (Lachner)
- Formaldehyd (Lachner)
- Formamid (Lachner)
- Hydroxid sodný (Lachner)
- Chlorid sodný (Lachner)
- Kyselina boritá (Lachner)
- Kyselina dusičná - 65% roztok (Lachner)
- Kyselina octová (Lachner)
- 3 - methakryloxypropyltrimethoxysilan (Serva)
- Močovina (Lachner)
- N, N' - methylenbisakrylamid (AppliChem)
- N, N, N', N' - tetramethylmethylethyldiamin (TEMED) (AppliChem)
- Peroxodisíran amonný (Lachner)
- Rain off - tekuté stěrače (Sheron)
- Thiosíran sodný (Lachema)
- Trishydroxymethylaminomethan (Tris) (AppliChem)
- Uhličitan sodný (Lachner)
- Xylenová modř (Xylenacyanol FF) (Applichem)

4.3 Seznam použitých roztoků

- Akrylamid, 6% zásobní roztok:
 - 420 g močoviny
 - 50 ml 10x TBE
 - 484 ml deionizované vody
 - 150 ml 40% zásobního roztoku akrylamid : N, N' - methylenbisakrylamid 19:1
 - Všechny složky rozpustit, poté zfiltrovat a uchovat v chladničce v tmavé láhví
- Dusičnan stříbrný, 0,1% roztok:
 - 0,8 g dusičnanu stříbrného
 - 800 ml deionizované vody
 - Před použitím přidat 1,2 ml formaldehydu
- Fix/stop roztok:
 - 88 ml ledové kyseliny octové
 - 800 ml deionizované vody
- Hydroxid sodný o koncentraci 1 mol/dm³:
 - 40 g hydroxidu sodného
 - 1 l deionizované vody
- Kyselina dusičná, 1% roztok:
 - 12 ml 65% kyseliny dusičné
 - 800 ml deionizované vody
- Nanášecí pufr:
 - 25 ml deionizované vody
 - 100 ml formamidu
 - 0,125 g xylenové modře
 - 0,125 g bromfenolové modře
- Peroxodisíran amonný, 10% roztok:
 - 1 g peroxidisíranu amonného
 - 10 ml deionizované vody
 - Uchovávat v chladničce
- Polyakrylamidový gel, 6% roztok:
 - 60 ml 6% zásobního roztoku akrylamidu
 - 400 µl 10% roztoku peroxidisíranu amonného
 - 40 µl N, N, N', N' - tetramethylethylendiaminu

- Reakční pufru pro PCR, 10x:
 - 1,211 g trishydroxymethylaminomethanu
 - 80 ml deionizované vody
 - Upravit pH pomocí HCl na hodnotu 9,0
 - 3,73 g KCl
 - 1 ml Triton X-100
 - Rozpustit a doplnit do 100 ml
- Roztok 3 - methakryloxypropyltrimethoxysilanu:
 - 1 ml 0,5% kyseliny octové v 96% ethanolu
 - 3 µl 3 - methakryloxypropyltrimethoxysilanu
- TBE pufr, 10x zásobní roztok:
 - 55 g kyseliny borité
 - 108 g trishydroxymethylaminomethanu
 - 40 ml roztoku Na₂EDTA 0,5 mol/l, pH 8,0
 - Deionizovanou vodou doplnit do 1 l
- Vývojka:
 - 24 g uhličitanu sodného
 - 800 ml deionizované vody
 - Uložit do chladničky
 - Před použitím přidat 1,2 ml formaldehydu a 160 µl thiosíranu sodného

4.4 Seznam použitých laboratorních přístrojů

- Elektroforetický zdroj EV232 (Consort)
- Hybridizační pec HB-2D (Techne)
- Chladnička kombinovaná (Whirlpool)
- Laboratorní váhy Mark S622 (BEL Engineering)
- Magnetická míchačka MR Hei-Combi (Heidolph)
- Mikropipety Finnpipette - 0,5 až 10 µl (osmikanálová) a 0,3 µl až 1 ml (ThermoLab systems)
- Mikropipety Nichipet EX 0,5 µl až 1 ml (Nichiryo)
- Minicentrifuga CLE CSQSP (Cleaver Scientific)
- Minicentrifuga Prism mini (Labnet International)
- Negatoskop NEGA 1 (Maneko)

- Sekvenační elektroforetická komůrka S2 (Whatman Biometra)
- Spektrofotometr NanoDrop ND-1000 (Thermo Scientific)
- Sušárna CAT 8050 (Contherm)
- Termocykler GenePro (BIOER)
- Termocykler PTC 100-96 VHB (MJ Research)
- Termocykler TP XP (BIOER)
- Třepačka Orbit 1900 (Labnet International)
- Vortex mixer (Labnet International)
- Vortex MS2 (Ika)
- Výrobník deionizované a ultračisté vody typ 02 (AquaOsmotic)
- Výrobník ledu Ice Flaker (Brema IceMakers)

4.5 PCR amplifikace DNA čápa bílého

PCR amplifikace byla provedena na genomické DNA 6 nepříbuzných jedinců čápa bílého. PCR reakční směs byla připravena a do každého PCR mixu byl přidán jeden páár testovaných primerů.

1. Všechny složky PCR mixu rozmrazit, následně zvortexovat a zcentrifugovat.
2. Do 1,5ml mikrozkumavek napijetovat reagencie podle Tabulky č. 1, poté PCR mix zvortexovat a zcentrifugovat.

Tabulka č. 1: Složení PCR směsi pro 6 vzorků.

| Složka PCR směsi | Objem [μ l] |
|--------------------------------------|------------------|
| Deionizovaná voda | 39,9 |
| Reakční pufr pro PCR (10x) | 6,7 |
| Roztok MgCl ₂ (25 mmol/l) | 4,0 |
| Roztok dNTPs (20 mmol/l) | 0,7 |
| Primer R (10 μ mol/l) | 3,3 |
| Primer F (10 μ mol/l) | 3,3 |
| aTaq DNA polymeráza (5 U/ μ l) | 1,5 |

3. Do 0,2ml mikrozkumavek napijetovat 1 μ l genomické DNA čápa bílého a poté přidat 9 μ l připraveného PCR mixu.
4. Mikrozkumavky vložit do termocykleru s nastavenými teplotními a časovými podmínkami podle schématu:

94 °C: 5 min
 35 x: 94 °C: 30 s
 50 °C: 30 s 35 cyklů
 72 °C: 30 s
 72 °C: 7 min

Podle tohoto schématu probíhala počáteční reakce s každým párem primerů. Následně při případném dalším opakování byla teplota *annealingu* primerů upravovaná pro jednotlivé mikrosatelity (detailey viz kapitola Výsledky).

4.6 Amplifikované mikrosatelitní lokusy u čápa bílého

Celkově bylo ke *cross-species* PCR amplifikaci použito 213 párů primerů, kdy 207 párů bylo navrženo pro PCR amplifikaci mikrosatelitů z řádu trubkonosí (Procellariiformes), 1 pro lesňáčka žlutonohého z řádu pěvci (Passeriformes) a zbyvajících 5 pro zástupce řádu dlouhokřídlí (Charadriiformes) a to pro kulíka mořského, racka novozélandského a alkouna obecného. Seznam těchto mikrosatelitů je uveden v tabulkách č. 2, 3, 4 a 5.

Tabulka č. 2: Seznam mikrosatelitů od druhů z čeledi albatrosovití testovaných na polymorfismus u čápa bílého.

| Zdrojový druh | Mikrosatelit | Literární zdroj |
|--|--|-----------------------------------|
| Albatros stěhovavý (<i>Diomedea exulans</i>) | 7D8, 12C8, 11H7, 10C5, 11H1, 6A3, 12H8, 11F3, 6F12, 12E1 | Dubois <i>et al.</i> , 2005 |
| | De1, De2, De3, De7, De11, De12, De17, De18, De25, De30, De33 | Burg, 1999 |
| | De35 | Burg <i>et Croxall</i> , 2001 |
| | De37 | Burg <i>et Croxall</i> , 2004 |
| Albatros šedohlavý (<i>D. chrysostoma</i>) | Dc5, Dc9, Dc10, Dc16, Dc19, Dc20, Dc21, Dc22, Dc26, Dc27, Dc31 | Burg, 1999 |
| Albatros šedohlavý, albatros stěhovavý | D6, D24, D29, D32 | |
| Albatros bělohřbetý (<i>Phoebastria albatrus</i>) | STAL4, STAL8, STAL12, STAL18, STAL20, STAL24 | Hernandez <i>et al.</i> , 2014 |
| Albatros černonohý (<i>P. nigripes</i>) | BFAL4, BFAL11, BFAL14, BFAL19, BFAL20 | |
| Albatros laysanský (<i>P. immutabilis</i>) | LAAL1, LAAL7, LAAL10, LAAL19 | |

Tabulka č. 3: Seznam mikrosatelitů od druhů z čeledi buřňákovití testovaných na polymorfismus u čápa bílého.

| Zdrojový druh | Mikrosatelit | Literární zdroj |
|---|---|--|
| Buřňák bělobradý (<i>Procellaria aequinoctialis</i>) | Paequ2, Paequ3, Paequ4, Paequ7, Paequ8, Paequ10, Paequ13 | Techow <i>et al.</i> , O’Ryan, 2004 |
| Buřňák šedý (<i>Calonectris diomedea</i>) | Cd1, Cd2, Cd3, Cd4, Cd5, Cd6, Cd7, Cd8, Cd9, Cd10, Cd11 | Bried <i>et al.</i> , 2008 |
| Buřňák taiko (<i>Pterodroma magentae</i>) | Tch6, Tch25 | Lawrence, 2008 |
| Buřňák trinidadský (<i>P. arminjoniana</i>) | Parm01, Parm02, Parm03, Parm04, Parm05, Parm06 | Brown <i>et al.</i> , Jordan, 2009 |
| Buřňák havajský (<i>P. sandwichensis</i>) | Ptero01, Ptero02, Ptero03, Ptero04, Ptero05, Ptero06, Ptero07, Ptero08, Ptero09, Ptero10 | Welch <i>et al.</i> , Fleischer, 2011 |
| Buřňák baleárský (<i>Puffinus mauretanicus</i>) | Puff 1.5, Puff 1.9, Puff 4B, Puff C5A, Puff C5D, Puff G2F, Puff G11F, Puff PM2, Puff Sma6, Puff G2C | Gonzalez <i>et al.</i> , 2009 |
| Buřňák světlonožný (<i>P. carneipes</i>) | Pc A105, Pc A107, Pc A115, Pc B11, Pc B109, Pc B115, Pc C104, Pc D3, Pc D103, Pc D109, Pc D121 | Hardesty <i>et al.</i> , 2013 |
| Buřňák Bulwerův (<i>Bulweria bulwerii</i>) | Bb2, Bb3, Bb7, Bb10, Bb11, Bb12, Bb20, Bb21, Bb22, Bb23, Bb25 | Andris <i>et al.</i> , 2010 |
| Buřňák úzlozobý (<i>Pachyptila belcheri</i>) | Patbel1, Patbel2, Patbel3, Patbel4, Patbel5, Patbel6, Patbel7 Pacbel_00386, Pacbel_02653, Pacbel_03731, Pacbel_04240, Pacbel_04355, Pacbel_04991, Pacbel_07265, Pacbel_08509, Pacbel_08867, Pacbel_08988, Pacbel_09021, Pacbel_09528, Pacbel_09957, Pacbel_10033, Pacbel_10895, Pacbel_12344, Pacbel_15293, Pacbel_15327, Pacbel_16671, Pacbel_16989, Pacbel_17529, Pacbel_17944, Pacbel_17986, Pacbel_19907, Pacbel_20784 | Quiffeldt <i>et al.</i> , 2012 Moodley <i>et al.</i> , 2015 |

Tabulka č. 4: Seznam mikrosatelitů od druhů z čeledi buřňáčkovití testovaných na polymorfismus u čápa bílého.

| Zdrojový druh | Mikrosatelit | Literární zdroj |
|---|--|-------------------------------|
| Buřňáček dlouhokřídlý (<i>Oceanodroma leucorhoa</i>) | Ole01, Ole02, Ole03, Ole04, Ole05, Ole06, Ole07, Ole08, Ole09, Ole10, Ole11, Ole12, Ole13, Ole14, Ole15, Ole16, Ole17, Ole18, Ole19, Ole20, Ole21, Ole22, Ole23, Ole24, Ole25, Ole26 | Bicknell <i>et al.</i> , 2011 |
| | Ole10-39 | Sun <i>et al.</i> , 2009 |
| Buřňáček madeirský (<i>O. castro</i>) | Oc28B, Oc49, Oc51, Oc63, Oc64B, Oc79, Oc79-2, Oc84, Oc87B | |
| Buřňáček Monteirov (<i>O. monteiroi</i>) | Omn1, Omn2, Omn3, Omn4, Omn6, Omn7, Omn8, Omn11, Omn14, Omn15, Omn16, Omn17, Omn21, Omn22, Omn23, Omn24, Omn25, Omn28 | Bried <i>et al.</i> , 2012 |

Tabulka č. 5: Seznam mikrosatelitů od druhů z řádu dlouhokřídlí a pěvci testovaných na polymorfismus u čápa bílého.

| Řad | Čeleď | Zdrojový druh | Mikrosatelit | Literární zdroj |
|--------------|--------------|--|----------------------|--|
| Dlouhokřídlí | Alkovití | Alkoun obecný (<i>Cephus guillemons</i>) | Cco5-21 | Friesen <i>et al.</i> , 2006 |
| | Kulíkovití | Kulík mořský (<i>Charadrius alexandrinus</i>) | Calex-01 | Brown <i>et al.</i> Jordan, 2009 podle Küpper <i>et al.</i> , 2007 |
| | Rackovití | Racek novozélandský (<i>Larus novaehollandiae scopulinus</i>) | RBG18, RBG18M, RBG29 | Lawrence, 2008, Welch <i>et al.</i> Fleischer, 2011 podle Given <i>et al.</i> , 2002 |
| Pěvci | Lesňáčkovití | Lesňáček žlutonohý (<i>Dendroica petechia</i>) | Dpμ01 | Friesen <i>et al.</i> , 2006 podle Dawson <i>et al.</i> , 1997 |

4.7 Zpracování PCR produktů pomocí elektroforetické separace

Postup je optimalizován pro elektroforetickou separaci probíhající za denaturujících podmínek za použití vyhřívané sekvenační elektroforetické komůrky S2 (Whatman Biometra). Rozměry skel určených pro tuto komůrku jsou 330 x 390 mm a 330 x 420 mm a tloušťka gelu je 0,4 mm.

1. Plochu malého i velkého skla, která se bude dotýkat gelu 2x opláchnout deionizovanou vodou a vysušit papírovou utěrkou a 2x opláchnout 96% ethanolem a opět obě skla vysušit.
2. Plochu velkého skla ošetřit přípravkem pro odpuzování vody (Rain-off) a následně pomocí papírového ubrousku důkladně rozetřít po celé ploše. Po zaschnutí (5 min) opět sklo 2x opláchnout deionizovanou vodou a znova osušit papírovou utěrkou.
3. Plochu malého skla ošetřit v digestoři 1 ml roztoku 3 - methakryloxypropyltrimethoxysilanu, který poté pomocí papírového ubrousku rozetřít po celé ploše skla. Po zaschnutí (5 min) sklo 4x opláchnout 96% ethanolem a znova vysušit.
4. Na polystyrenovou podložku umístěnou v digestoři položit velké sklo ošetřenou plochou nahoru a na jeho delší okraje umístit dva 0,4mm spacery. Následně na velké sklo položit malé sklo ošetřenou plochou dolů a spacery srovnat až do krajů skel a sepnout po obou stranách dvěma klipsy.
5. V kádince připravit 6% polyakrylamidový gel a postupně ho nalévat mezi skla a přitom na sklo druhou rukou lehce poklepávat, aby nedošlo ke vzniku vzduchových bublin.
6. Po nalití gelu vsunout mezi skla hřebínek asi 5 mm hluboko a v místě hřebínu sepnout skla čtyřmi klipsy a nechat gel hodinu tuhnout.
7. Po ztuhnutí gelu sundat klipsy a skla důkladně omýt vodou a pomocí kartáčku odstranit všechny zbytky polyakrylamidového gelu hlavně v oblasti hřebínu. Menší sklo usušit pomocí papírové utěrky a skla upevnit do elektroforetické komůrky tak, aby menší sklo směřovalo k hliníkové desce komůrky a hřebíncem nahoru.
8. Do katodového a anodového prostoru nalít 0,5x TBE pufr a následně vytáhnout opatrně hřebínek. Prostor po hřebínu vyčistit pomocí stříkačky a pufru. Oba prostory uzavřít a připojit elektrody ke zdroji stejnosměrného napětí a následně gel 30 min zahřívat při nastavení zdroje: napětí 3000 V, proud 150 mA a výkon 90 W.
9. Mezitím si připravit vzorky, ke každému produktu PCR přidat 5 µl nanášecího pufru. Poté vzorky vložit do termocykleru a nechat denaturowat po dobu 3 minut. Po denaturaci vzorky ihned umístit do ledové tříšť.
10. Po nahřátí gelu vypnout zdroj stejnosměrného napětí, odpojit katodu a znova vyčistit prostor mezi skly pomocí stříkačky. Následně vsunout hřebínek asi 1 mm

hluboko do gelu a dále nanášet pomocí osmikanálové pipety 2 μ l připravených vzorků.

11. Po nanesení všech vzorků uzavřít katodový prostor, připojit elektrodu a na zdroji stejnosměrného napětí nastavit hodnotu výkonu na 70 W a nechat vzorky separovat 1,5–3 hod, v závislosti na relativní molekulové hmotnosti.
12. Mezitím si připravit roztoky k vyvolování a to fix/stop roztok, vývojku a 1% HNO_3 . Vývojku po protřepání vložit do chladničky.
13. Elektroforetickou separaci ukončit vypnutím zdroje stejnosměrného elektrického proudu, odpojit elektrody a vypustit pufr. Skla vyjmout, položit na fotomisku malým sklem nahoru, vytáhnout spacery a hřebínek a pomocí nože opatrně skla od sebe oddělit.
14. Menší sklo s gelem vložit do fotomisky gelem nahoru, přenést do digestoře na třepačku a zalít fix/stop roztokem, nechat působit 20 min.
15. Následně fix/stop roztok slít zpět do baňky a sklo 3x promýt deionizovanou vodou. Poté do misky nalít roztok 1% HNO_3 a nechat působit 4 min.
16. Roztok HNO_3 vylít do odpadu a sklo 4x opláchnout deionizovanou vodou. Do roztoku 0,1% $AgNO_3$ přidat 1,2 ml formaldehydu. Sklo přemístit do další fotomisky a zalít připraveným roztokem a nechat působit 30 min
17. Připravit fotomisku s deionizovanou vodou a do baňky s vývojkou přidat 1,2 ml formaldehydu a 140 μ l roztoku thiosíranu sodného.
18. Po uplynutí 30 minut roztok 0,1% $AgNO_3$ slít zpět do baňky a sklo umístit na 5 sekund do připravené vody. Následně sklo přemístit do další fotomisky a zalít gel vývojkou.
19. Postupně sledovat vyvíjení hnědočerných pruhů produktů PCR, pokud jsou pruhy dostatečně zřetelné zalít sklo fix/stop roztokem, aby došlo k zastavení vyvíjení a nechat působit asi 2 min.
20. Sklo přemístit do misky s deionizovanou vodou, nechat okapat a poté přenést do sušárny na přibližně 30 min při 90 °C.
21. Usušený gel hodnotit na negatoskopu a poté naskenovat.

5 Výsledky

V rámci experimentální části mé bakalářské práce jsem testovala pomocí *cross-species* PCR amplifikace celkově 213 párů primerů. 207 párů primerů pocházelo od zástupců z řádu trubkonosí - 53 od druhů z čeledi albatrosovití, 100 od druhů z čeledi buřňákovití a 54 od druhů z čeledi buřňáčkovití. Dále 5 párů primerů od zástupců z řádu dlouhokřídlí, a to od alkouna obecného, kulíka mořského a racka novozélandského a jeden pár primerů od lesňáčka žlutonohého z řádu pěvci. Všechny mikrosatelitní lokusy jsem testovala na 6 nepříbuzných jedincích čápa bílého a byly hledány polymorfní mikrosatelitní lokusy.

Testování párů primerů probíhalo při teplotě *annealingu* 50 °C a následně byly teploty upravovány v závislosti na konkrétním polymorfním mikrosatelitu. V případě žádného nebo slabého PCR produktu byla teplota *annealingu* postupně snižována až na 44 °C, naopak v případě velmi silného a špatně hodnotitelného produktu byla teplota *annealingu* postupně zvyšována až na 69 °C. Dále byla upravována koncentrace hořečnatých iontů v PCR mixu, a to z původní koncentrace (objemu) na koncentraci poloviční nebo tříčtvrtiční (tedy objem poloviční nebo tříčtvrtiční) a o stejný objem byla doplněna voda, aby nedošlo ke změně celkového objemu PCR reakce. Tato změna byla provedena u dvou mikrosatelitů a to u Puff G2F a u Pacbel_07265.

Ze všech testovaných mikrosatelitů poskytlo polymorfní produkt 18 párů primerů (viz Tabulka č. 6). U mikrosatelitního lokusu Paequ2 se mi nepodařilo ani po úpravách teploty PCR reakce získat žádný produkt. Zbývajících 194 lokusů poskytlo monomorfní produkt.

Tabulka č. 6: Charakteristika 18 polymorfních mikrosatelitních lokusů testovaných na 6 nepříbuzných jedincích čápa bílého. V tabulce je uveden název lokusu s kódem z databáze GenBank, dále zdrojový druh, sekvence primerů, jednotka repetice, počet alel, čas elektroforetické separace a teplota annealingu (T_a).

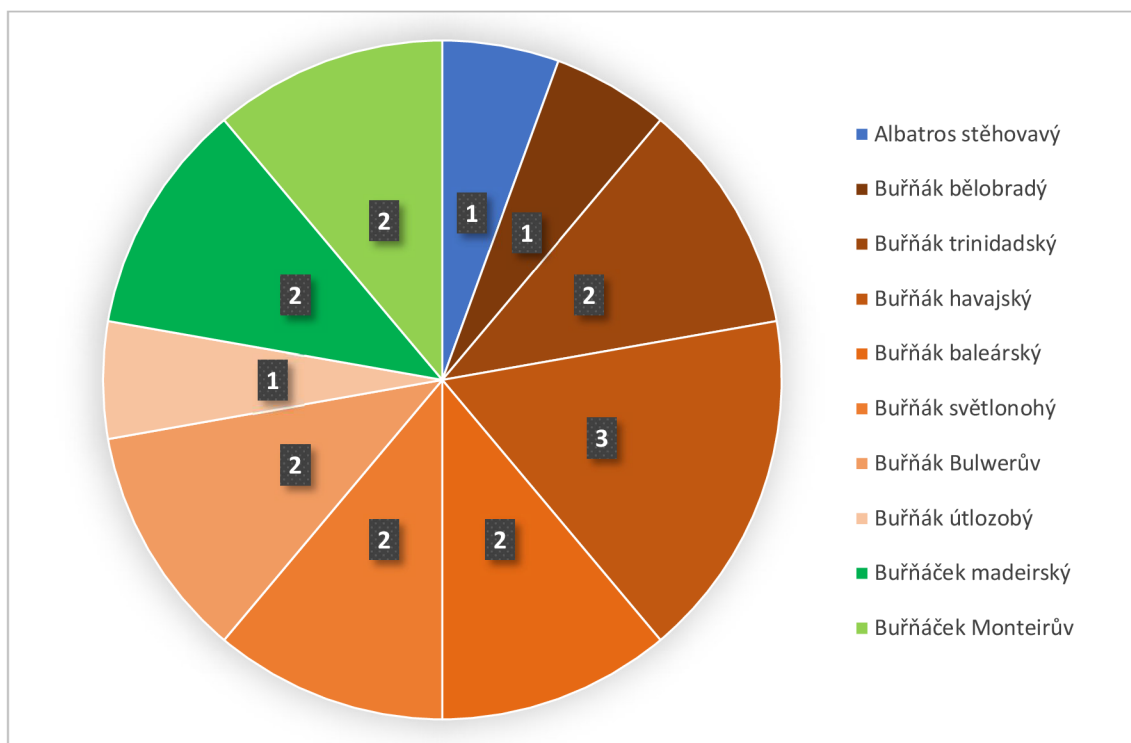
| Lokus (GenBank Acc. No.) | Zdrojový druh | Sekvence primerů (5' → 3') | Jednotka repetice | Počet allel | Čas separace [min] | T_a [°C] |
|--------------------------------|-----------------------|--|----------------------|----------------|--------------------------|---------------|
| De7 (AF096792) | Albatros stěhovavý | F: GAGGAAAACCTCCATCTGCCA R: TCTAACCTCTATCAAAGG | AC | 2 | 90 | 62 |
| Paequ10 (neuvědeno) | Buřňák bělobradý | F: GAAGCTGCACTGGAAGT R: CATGTGGTAAGAATCCAGATG | CA | 2 | 90 | 61 |
| Parm02 (EU360818) | Buřňák trinidadský | F: AGCAAGCTGACAGCAACAGA R: TGTTATGTCTGCAGATGAG | CA | 3 | 90 | 67 |
| Parm05 (EU360821) | Buřňák trinidadský | F: CGTATAACCCTGCAGATACGC R: CTCAGTGCCAATTCTGACCC | CA | 2 | 90 | 60 |
| Ptero02 (HQ918219) | Buřňák havajský | F: AAGCGCTTCACTGGAGGA R: TGACCTGTGTGCCTTCATT | CA | 4 | 90 | 53 |
| Ptero04 (HQ918221) | Buřňák havajský | F: TGCATTGTTCTGTCCAAACTC R: GGCTGGAATGCATAGTACCAAC | CA | 2 | 90 | 67 |
| Ptero09 (HQ918226) | Buřňák havajský | F: GCAAATACCAGTCTTCCAAAGG R: TTTAAGATAAAGATGTTGAGAACCAC | AAGG | 4 | 90 | 65 |
| Puff G2C (EU158898) | Buřňák baleárský | F: CTGAAATCAGACATTATTTC R: ACAATATGCAAACCTTTTG | GT | 3 | 90 | 56 |
| Puff G2F* (EU158899) | Buřňák baleárský | F: GCTCTCCCAGTTGCACG R: TCCCATGCTTAACCACTG | GT | 2 | 180 | 58 |
| Pc A107 (JX435472) | Buřňák světlonošní | F: AAAGCCAGTAGGTGTATTCAAC R: AAGTGGGAGGAAAGAGTGTAG | GT | 2 | 90 | 59 |

Tabulka č. 6: Pokračování.

| Lokus (GenBank Acc. No.) | Zdrojový druh | Sekvence primerů (5' → 3') | Jednotka repetice | Počet alel | Čas separace [min] | T _a [°C] |
|--------------------------------|---------------------|--|----------------------|---------------|--------------------------|------------------------|
| Pc D103 (JX435479) | Buřák světlonožý | F: GGAAAGATGTCATGCTGATGA R: GTGGGAGATTCATAGGCAAAG | GATA/GATG | 3 | 90 | 51 |
| Bb22 (HM171898) | Buřák | F: TTCACAGCAGAACATCACCTCAG R: GCTCAAAGGGTGGATTGTT | TG | 2 | 90 | 62 |
| Bb23 (HM171899) | Bulwerův | F: TCAAAAGCTCACTCCCCTTT R: ATCTCCCTTGCCTTCCTTT | CA | 2 | 90 | 51 |
| Pacbel_07265* (neuvedeno) | Buřák útlozobý | F: CGTCACTTAATAGCGCTGGC R: ACCCTGATTTCAGTCCG | GT | 5 | 90 | 56 |
| Oc28B (FJ238097) | Buřáček | F: GCGTTGACCAGCAAATAGTC R: GGAAGGCTACCACAATTCA | TG | 2 | 90 | 55 |
| Oc87B (FJ238104) | madeirský | F: TTTAAGGAACGCAAGTCAGG R: GTGATTCTGCAGTGGCTTT | GA | 2 | 90 | 53 |
| Omn8 (JQ303232) | Buřáček | F: TGCAACCTTAGCATTACCTAGC R: GGGCGAGCATTACATTAAA | AC | 6 | 90 | 61 |
| Omn23 (JQ303240) | Monteirův | F: GGAAAAGGAGACTAGATCTGTGAA R: AAACTTACTTGTTATTCCATATGTTT | TTG | 2 | 90 | 61 |

Pozn.: * - tříčtvrtiční koncentrace hořčnatých iontů v PCR mixu

Z celkově testovaných 213 párů primerů poskytlo polymorfní produkt 18, tudíž je úspěšnost nalezení polymorfního mikrosatelitu 8,5 %. Všechny polymorfní mikrosatelity pocházely od druhů ze tří čeledí rádu trubkonosí. Pouze jeden mikrosatelitní lokus pocházel z čeledi albatrosovití, čtyři z čeledi buřňáčkovití a zbytek polymorfních mikrosatelitů tedy 13 pocházelo od zástupců z čeledi buřňákovití. V rámci buřňákovitých bylo testováno 100 párů primerů a procentuální úspěšnost nalezení polymorfního produktu činila 13 %. Nejvíce polymorfních mikrosatelitů u čápa bílého bylo zaznamenáno původem od buřňáka havajského, a to tři mikrosatelity. Procentuální úspěšnost nalezení polymorfního produktu od čeledi buřňáčkovití, kde bylo testováno 54 párů primerů činila 7,4 % a od čeledi albatrosovití, kde bylo pomocí *cross-species* PCR amplifikací testováno 53 párů primerů přibližně 2 %. Přehled polymorfních produktů u čápa bílého je zaznamenán na Obrázku č. 3.



Obrázek č. 3: Přehled 18 mikrosatelitních lokusů, které byly polymorfní u čápa bílého vzhledem ke zdrojovým druhům. Čísla udávají počet nalezených polymorfních mikrosatelitů od jednotlivých druhů.

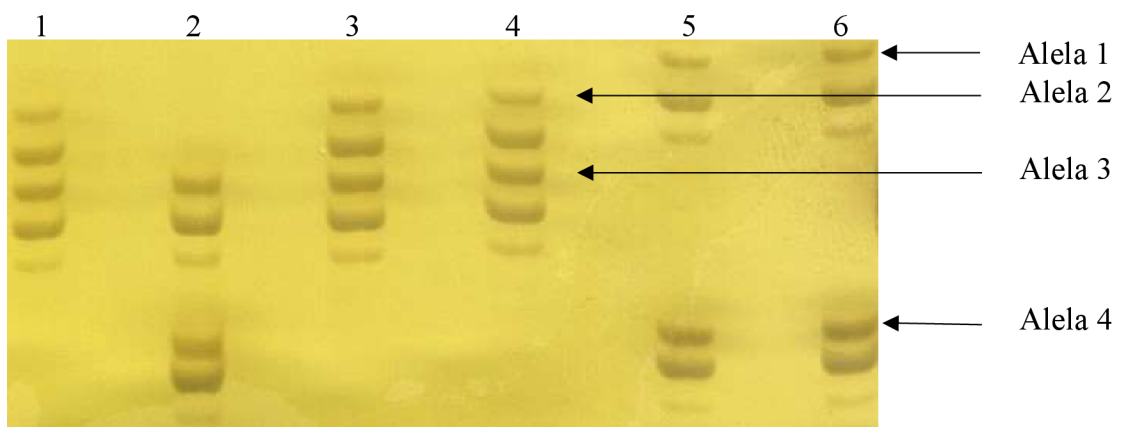
V rámci testovaných polymorfních mikrosatelitních lokusů bylo detekováno 2–6 alel. U 11 mikrosatelitních lokusů, tudíž u 61 %, jsem detekovala dvě alely, u 3 lokusů (17 %) tři alely, u 2 lokusů (11 %) čtyři alely, u 1 lokusu (5,5 %) pět alel a u 1 lokusu (5,5 %) šest alel.

V následující tabulce jsou uvedeny genotypy všech 18 polymorfních mikrosatelitů u šesti nepříbuzných jedinců čápa bílého.

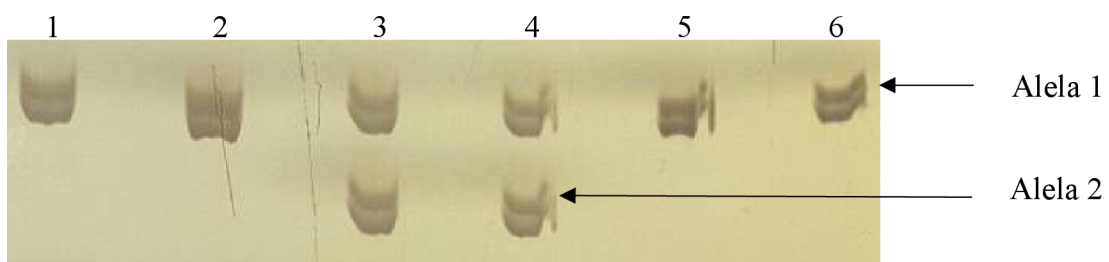
Tabulka č. 7: Genotypy 18 polymorfních mikrosatelitních lokusů u 6 nepříbuzných jedinců čápa bílého. V tabulce je uveden název mikrosatelitního lokusu, zdrojový druh, počet alel a genotypy.

| Mikrosatелит | Zdrojový druh | Počet alel | Genotyp u jedince | | | | | |
|---------------------|----------------------|-------------------|--------------------------|----------|----------|----------|----------|----------|
| | | | 1 | 2 | 3 | 4 | 5 | 6 |
| De7 | Albatros stěhovavý | 2 | 1/1 | 1/1 | 1/1 | 1/1 | 1/2 | 1/1 |
| Paequ10 | Buřňák bělobradý | 2 | 1/1 | 1/1 | 1/1 | 1/1 | 1/1 | 1/2 |
| Parm02 | Buřňák trinidadský | 3 | 1/2 | 2/3 | 1/3 | 1/3 | 3/3 | 2/3 |
| Parm05 | | 2 | 1/1 | 1/2 | 1/1 | 1/1 | 1/2 | 1/2 |
| Ptero02 | Buřňák havajský | 4 | 2/3 | 3/4 | 2/3 | 2/3 | 1/4 | 1/4 |
| Ptero04 | | 2 | 1/1 | 1/2 | 1/2 | 1/2 | 1/1 | 1/1 |
| Ptero09 | | 4 | 2/4 | 1/4 | 2/3 | 1/2 | 2/2 | 2/3 |
| Puff G2C | Buřňák baleárský | 3 | 3/3 | 2/3 | 1/3 | 1/3 | 3/3 | 3/3 |
| Puff G2F | | 2 | 2/2 | 2/2 | 2/2 | 2/2 | 1/1 | 1/1 |
| Pc A107 | Buřňák světlonoňohý | 2 | 1/1 | 2/2 | 2/2 | 1/2 | 1/2 | 1/2 |
| Pc D103 | | 3 | 2/3 | 1/2 | 2/2 | 2/2 | 1/2 | 2/3 |
| Bb22 | Buřňák Bulwerův | 2 | 1/2 | 1/1 | 1/1 | 1/1 | 1/1 | 1/1 |
| Bb23 | | 2 | 1/1 | 1/2 | 1/1 | 1/1 | 1/1 | 1/1 |
| Pacbel_07265 | Buřňák útlozobý | 5 | 1/5 | 1/1 | 3/3 | 3/3 | 2/4 | 2/4 |
| Oc28B | Buřňáček madeirský | 2 | 1/1 | 1/2 | 1/2 | 1/2 | 1/2 | 1/2 |
| Oc87B | | 2 | 1/1 | 1/1 | 1/2 | 1/2 | 1/1 | 1/1 |
| Omn8 | Buřňáček Monteirův | 6 | 1/5 | 3/4 | 2/6 | 2/4 | 2/5 | 2/5 |
| Omn23 | | 2 | 1/1 | 1/1 | 1/1 | 1/1 | 1/2 | 1/2 |

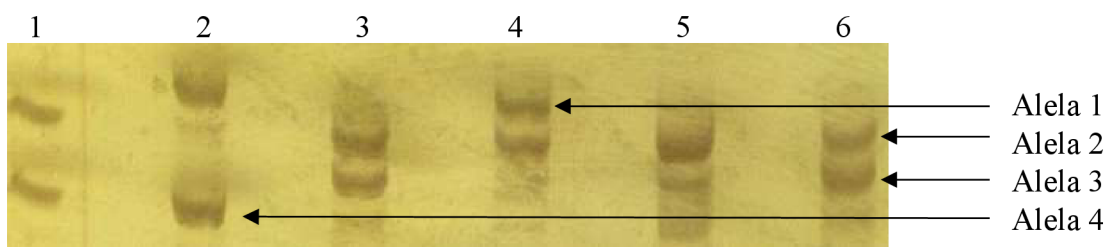
Hodnocení mikrosatelitů neznamená jenom určení optimálních podmínek PCR amplifikace a elektroforetického dělení, ale důležitý je i jejich výsledný obraz v gelu, protože různé mikrosateliity můžou obsahovat nejenom hlavní produkt PCR amplifikace, ale i další extrabandy a další produkty, proto je jejich následné hodnocení problematické a výsledky polymorfismu pak mohou být nespolehlivé. Naopak jiné mikrosateliity jsou velice dobře hodnotitelné například Ptero02 (viz Obrázek č. 4), Oc87B (viz Obrázek č. 5), Ptero09 (viz Obrázek č. 6) a Pc D103 (viz Obrázek č. 7).



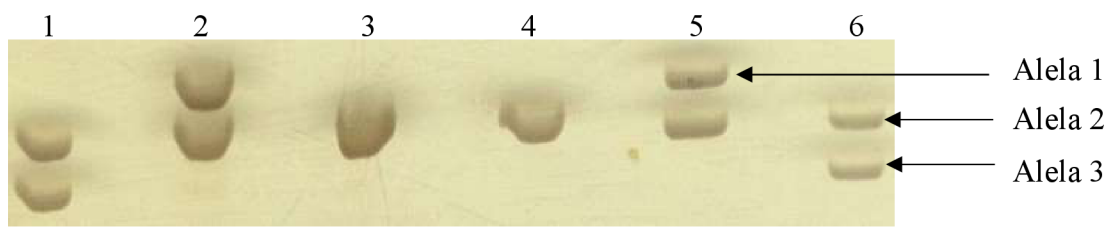
Obrázek č. 4: Elektroforetogram mikrosatelitního lokusu Ptero02 u šesti nepříbuzných jedinců čápa bílého. Amplifikace tohoto lokusu probíhala při 53 °C a separaci 90 minut. Šípkami jsou na obrázku vyznačeny 4 alely. Číslice 1–6 označují jednotlivé jedince.



Obrázek č. 5: Elektroforetogram mikrosatelitního lokusu Oc87B u šesti nepříbuzných jedinců čápa bílého. Amplifikace tohoto lokusu probíhala při 53 °C a separaci 90 minut. Šípkami jsou na obrázku vyznačeny 2 alely. Číslice 1–6 označují jednotlivé jedince.



Obrázek č. 6: Elektroforetogram mikrosatelitního lokusu Ptero09 u šesti nepříbuzných jedinců čápa bílého. Amplifikace tohoto lokusu probíhala při 65 °C a separaci 90 minut. Šípkami jsou na obrázku vyznačeny 4 alely. Číslice 1–6 označují jednotlivé jedince.



Obrázek č. 7: Elektroforetogram mikrosatelitního lokusu Pc D103 u šesti nepříbuzných jedinců čápa bílého. Amplifikace tohoto lokusu probíhala při 51 °C a separaci 90 minut. Šipkami jsou na obrázků vyznačeny 3 alely. Číslice 1–6 označují jednotlivé jedince.

6 Diskuze

V této bakalářské práci jsem se zabývala hledáním polymorfních mikrosatelitních lokusů pomocí *cross-species* PCR amplifikace u šesti nepříbuzných jedinců čápa bílého. Celkově jsem testovala 213 párů primerů, kdy 207 párů primerů pocházelo od druhů z řádu trubkonosí, 5 od druhů z řádu dlouhokřídlí a 1 od zástupce z řádu pěvci. V rámci mé experimentální práce jsem našla 18 polymorfních mikrosatelitních lokusů s počtem alel od dvou do šesti.

Od čeledi albatrosovití jsem měla k dispozici 53 párů primerů, které jsem pomocí *cross-species* PCR amplifikace testovala u šesti jedinců čápa bílého. V rámci této čeledi poskytl polymorfní produkt pouze jeden mikrosatelitní lokus a to De7 pocházející od albatrose stěhovavého. V rámci čeledi buřňákovití bylo celkově testováno 100 párů primerů a polymorfní produkt poskytlo 13 z nich, a to Paequ10 od buřňáka bělobradého, Parm02 a Parm05 od buřňáka trinidadského, Ptero02, Ptero04 a Ptero09 od buřňáka havajského, Puff G2C a Puff G2F od buřňáka baleárskeho, Pc A107 a Pc D103 od buřňáka světlonohého, Bb22 a Bb23 od buřňáka Bulwerova a Pacbel_07265 od buřňáka útlozobého. Pro čeleď buřňáčkovití jsem měla k dispozici 54 párů primerů, kdy polymorfní mikrosatelitní lokus poskytly čtyři, a to Oc28B a Oc87B od buřňáčka madeirského a Omn8 a Omn23 od buřňáčka Monteirova.

Burg (1999) testovala 26 polymorfních mikrosatelitních lokusů, které byly izolovány od albatrose šedohlavého a albatrose stěhovavého. Při PCR amplifikaci použila dvě teploty *annealingu*. U mikrosatelitu De7 byla teplota *annealingu* prvních sedm cyklů 48 °C a poté dalších 25 cyklů při teplotě 52 °C a autorka našla 2 alely. Já jsem u čápa bílého při teplotě *annealingu* 62 °C našla také 2 alely. Při *cross-species* PCR amplifikaci u 50 jedinců albatrose šedohlavého, 50 jedinců albatrose černobrvého a 90 jedinců albatrose stěhovavého našla autorka u všech také 2 alely.

Techow et O’Ryan (2004) izolovali 6 polymorfních mikrosatelitních lokusů od buřňáka bělobradého. U mikrosatelitního lokusu Paequ10 našli u 69 jedinců 7 alel při T_a 55 °C. Já jsem u tohoto mikrosatelitu našla 2 alely při T_a 61 °C. Tyto mikrosateliity testovali pomocí *cross-species* PCR amplifikace u buřňáka tristanského, obrovského a Hallova, albatrose stěhovavého, šedohlavého a černobrvého. Paequ10 vykazoval

polymorfismus u všech druhů s výjimkou albatrose stěhovavého, kde nebyl žádný produkt. Počty alel autoři neuvádějí.

Brown *et Jordan* (2009) charakterizovali 6 mikrosatelitních lokusů u buřňáka trinidadského. U lokusu Parm02 detekovali 4 alely při T_a 55 °C, já jsem u tohoto mikrosatelu našla 3 alely při T_a 67 °C. Parm05 byl jimi označen jako monomorfní, zatímco já jsem našla 2 alely při T_a 60 °C. Všechny tyto lokusy testovali pomocí *cross-species PCR* amplifikace u 17 druhů z řádu trubkonosí a na tučňáku žlutorohém. Parm02 byl polymorfní u 4 druhů z řádu trubkonosí a to u 17 jedinců buřňáka proměnlivého, 12 jedinců buřňáka bělobradého a 8 jedinců buřňáka holubího se 3 alelami, 1 jedince buřňáka modravého se 2 alelami a u 8 jedinců tučňáka žlutorohého s 5 alelami. Parm05 byl polymorfní u tří druhů z řádu trubkonosí a to u 17 jedinců buřňáka proměnlivého se 2 alelami, 8 jedinců buřňáka madeirského se 3 alelami a u 8 jedinců buřňáka kapverdského se 2 alelami, u jednoho druhu byl monomorfní a u dalších nedošlo k amplifikaci.

Welch *et Fleischer* (2011) popsali 10 polymorfních mikrosatelitních lokusů od buřňáka havajského. Testováním 40 jedinců buřňáka havajského nalezli u mikrosatelu Ptero02 pět alel, u Ptero04 osm alel a u Ptero09 sedm alel při T_a 53 °C. Já jsem u Ptero02 našla čtyři alely při T_a 53 °C, u Ptero04 dvě alely při T_a 67 °C a u Ptero09 čtyři alely při T_a 65 °C.

Gonzalez *et al.* (2009) izolovali 10 polymorfních mikrosatelitních lokusů od 54 jedinců buřňáka baleárského. Puff G2C byl polymorfní se 7 alelami při teplotě *annealingu* 50 °C a Puff G2F měl 2 alely při teplotě *annealingu* 60 °C. Já jsem u lokusu Puff G2C našla 3 alely při T_a 56 °C a u lokusu Puff G2F také 2 alely při teplotě T_a 58 °C a s tříčtvrtiční koncentrací hořečnatých iontů. Autoři také provedli se všemi 10 mikrosateli *cross-species PCR* amplifikaci u 23 jedinců buřňáka středomořského, všechny mikrosateli amplifikovaly polymorfní produkt se 2–9 alelami, pouze Puff G2F byl monomorfní.

Hardesty *et al.* (2013) našli u buřňáka světlonožného 11 polymorfních mikrosatelitních lokusů. U lokusu Pc A107 autoři detekovali pět alel při T_a 55,2 °C a u lokusu Pc D103 šest alel při T_a 58,7 °C. Já jsem u Pc A107 našla dvě alely při T_a 59 °C a u lokusu Pc D103 tři alely při T_a 51 °C.

Andris *et al.* (2010) izolovali 11 mikrosatelitních lokusů od buřňáka Bulwerova. U mikrosatelu Bb22 zjistili 2 alely, já jsem u tohoto mikrosatelu také zjistila dvě alely. U mikrosatelu Bb23 detekovali 3 alely, zatímco já jsem u tohoto mikrosatelu detekovala alely 2. Jejich amplifikace probíhala při T_a 58 °C. Já jsem amplifikovala mikrosateli Bb22 při teplotě *annealingu* 62 °C a Bb23 při 51 °C. Autoři také provedli *cross-species* PCR amplifikaci u buřňáka modravého a bělobradého a u buřňáčka Monteirova. Mikrosateli Bb22 byl polymorfní u všech druhů, zatímco Bb23 byl polymorfní pouze u buřňáků. Počty testovaných jedinců ani alel autoři neuvádějí.

Moodley *et al.* (2015) popsali 25 polymorfních mikrosatelitních lokusů u buřňáka útlozobého. U lokusu Pacbel_07265 autoři našli 15 alel při T_a 56 °C, zatímco já jsem u tohoto lokusu našla 5 alel při T_a 56 °C a s tříčtvrtiční koncentrací hořečnatých iontů. Také provedli *cross-species* PCR amplifikaci u 118 jedinců buřňáka širokozobého, 79 jedinců buřňáka holubího, 18 jedinců buřňáka Salvinova, 35 jedinců buřňáka hrdličšího, 99 jedinců buřňáka modravého a 6 jedinců buřňáčka Wilsonova. Lokus Pacbel_07265 vykazoval polymorfismus u všech zástupců s počtem alel: 14 u buřňáka širokozobého, 15 u buřňáka holubího, 7 u buřňáka Salvinova, 6 u buřňáka hrdličšího, 28 u buřňáka modravého a 5 u buřňáčka Wilsonova.

Sun *et al.* (2009) charakterizovali 10 mikrosatelitních lokusů u buřňáčka dlouhokřídlého a u buřňáčka madeirského. Variabilitu testovali u 27 jedinců buřňáčka madeirského, 22 jedinců buřňáčka Monteirova a 24 jedinců buřňáčka dlouhokřídlého při T_a 50 °C. U lokusu Oc28B autoři nalezli 3 alely u buřňáčka madeirského i Monteirova, zatímco u buřňáčka dlouhokřídlého byl tento lokus monomorfní. Já jsem u tohoto lokusu detekovala 2 alely při T_a 55 °C. Amplifikací lokusu Oc87B autoři získali 3 alely u buřňáčka madeirského, 6 alel u Monteirova a 9 alel u dlouhokřídlého. Já jsem amplifikací tohoto lokusu našla 2 alely při T_a 53 °C.

Bried *et al.* (2012) popsali 18 polymorfních mikrosatelitních lokusů u buřňáčka Monteirova. Při testování těchto lokusů použili stejnou T_a 58 °C. Pro lokus Omn8 autoři detekovali 10 alel, já detekovala 6 alel při T_a 61 °C. U lokusu Omn23 našli 4 alely, zatímco já jsem pro tento lokus detekovala 2 alely při T_a 61 °C. Také provedli *cross-species* PCR amplifikaci u buřňáčka madeirského, buřňáka modravého a buřňáka Bulwerova. Lokus Omn8 byl polymorfní pouze u buřňáčka madeirského, u dalších dvou

druhů nedošlo k amplifikaci. Lokus *Omn23* nebyl ani u jednoho ze zástupců polymorfní. Počty jedinců a alel autoři neuvádějí.

V laboratoři populační genetiky Katedry buněčné biologie a genetiky Přírodovědecké fakulty Univerzity Palackého v Olomouci již mnoho studentů studovalo variabilitu mikrosatelitů od zástupců z řádu trubkonosí. Srovnání jednotlivých polymorfních mikrosatelitů je uvedeno v Tabulce č. 8.

Nedvědová (2015) se ve své diplomové práci zabývala *cross-species* PCR amplifikací u šesti nepříbuzných jedinců nesyta indomalajského (*Mycteria leucocephala*) a nalezla 46 polymorfních mikrosatelitních lokusů se 2 až 5 alelami. Já jsem při testování čápa bílého nalezla 11 stejných polymorfních lokusů. Jednalo se o největší shodu v rámci porovnání s ostatními druhy.

Janušová (2015) ve své bakalářské práci provedla *cross-species* PCR amplifikaci u šesti nepříbuzných jedinců potápky roháče (*Podiceps cristatus*) a nalezla 20 polymorfních mikrosatelitních lokusů. Následně tyto polymorfní mikrosatelity charakterizovala ve své diplomové práci (Janušová, 2017) na 13 jedincích potápky roháče. Mikrosatelit Pc A107 ve své bakalářské práci uvedla jako polymorfní, ale po charakterizování byl označen jako monomorfní. Tři mikrosatelity byly shodné s mikrosatelity nalezenými u čápa bílého.

Cross-species amplifikací u pelikána kadeřavého (*Pelecanus crispus*) se zabývala Verešová (2018) a z celkových 213 mikrosatelitů poskytlo polymorfní produkt pouze 12 se 2–3 alelami. Následně tyto mikrosatelity charakterizovala ve své diplomové práci (Verešová, 2020) na 41 jedincích pelikána kadeřavého. Ve srovnání s mnou testovanými lokusy nebyl ani jeden v její diplomové práci polymorfní.

U plameňáka karibského (*Phoenicopterus ruber*) provedla Strejčková (2016) *cross-species* PCR amplifikaci s 213 páry primerů a nalezla 51 polymorfních mikrosatelitních lokusů. Lokus Puff G2C, který byl izolován z buřňáka baleárského byl vyhodnocen jako nehodnotitelný a pro další analýzy byl vyřazen. Tyto polymorfní mikrosatelitní lokusy následně testovala ve své diplomové práci (Strejčková, 2018) na 30 nepříbuzných jedincích plameňáka karibského a detekovala 2 až 11 alel. Ve srovnání s polymorfními mikrosatelity u čápa bílého bylo 8 respektive 9 i s lokusem Puff G2C společných polymorfních.

Zlochová (2019) ve své diplomové práci charakterizovala 48 mikrosatelitních lokusů z řádu trubkonosí, které již dříve ve své bakalářské práci Kůrová (2017) určila jako polymorfní. Pro lokus Puff G2C nebylo možné určit genotyp a nebyl tedy hodnotitelný, proto pro další analýzu nebyl použit. Variabilita byla charakterizována u 22 nepříbuzných jedinců plameňáka růžového (*Phoenicopterus roseus*). Ve srovnání s čápem bílým vykazovalo shodu 6 (respektive 7) polymorfních lokusů.

Hudzieczková (2019) ve své bakalářské práci testovala variabilitu u šesti nepříbuzných jedinců pelikána bílého (*Pelecanus onocrotalus*) a detekovala 42 polymorfních mikrosatelitních lokusů s počtem alel od dvou do šesti, 5 z nich je polymorfních u čápa bílého.

U pelikána afrického (*Pelecanus rufescens*) provedla Kopečná (2018) *cross-species* PCR amplifikaci s 213 páry primerů a nalezla 24 polymorfních mikrosatelitních lokusů se 2 až 3 alelamí. Mikrosateliity De7, Parm05 a Ptero02 neposkytly žádný produkt. Zatímco při testování čápa bílého byly polymorfní. Následně tyto mikrosateliity použila ve své diplomové práci (Kopečná, 2020) a variabilitu charakterizovala na 12 nepříbuzných jedincích pelikána afrického. Lokus PcA 107 ve své bakalářské práci uvedla jako polymorfní, při testování mikrosatelitů v rámci diplomové práce byl označen jako monomorfní. Já jsem při testování čápa bílého nalezla 2 stejné polymorfní lokusy jako ona u pelikána afrického.

Srovnáním 18 polymorfních mikrosatelitů testovaných u čápa bílého s ostatními druhy, které byly také pomocí *cross-species* PCR amplifikace testovány na polymorfní mikrosateliity z řádu trubkonosí byla zaznamenána největší shoda s nesystem indomalajským, dále s plameňákem karibským a růžovým. Nejmenší shoda byla s pelikánem kadeřavým, kde byl nulový průnik polymorfismu. Mikrosatelit Omn8 byl polymorfní u 7 druhů s výjimkou pelikána kadeřavého, dále byl vysoce polymorfní i mikrosatelit Pc D103, který byl polymorfní u 5 druhů s výjimkou všech pelikánů. Naopak mikrosatelitní lokusy Paequ10 a Bb23 byly polymorfní pouze u čápa bílého (viz Tabulka č. 8).

Tabulka č. 8: Přehled polymorfních mikrosatelitních lokusů z rádu trubkonosí u čápa bílého (tato práce) a testy u dalších vybraných druhů z kladu Aequorlitornithes: nesyta indomalajského (Nedvědová, 2015), plameňáka karibského (Strejčková, 2018), plameňáka růžového (Zlochová, 2019), pelikána bílého (Hudzieczková, 2019), potápkы roháče (Janušová, 2017), pelikána afrického (Kopečná, 2020) a kadeřavého (Verešová, 2020). Číslem je označen počet alel, M - monomorfni lokus, U - polymorfní nehodnotitelny lokus, NA - žádná amplifikace. V závorce jsou uvedeny počty jedinců.

| Lokus | Čáp bílý (6) | Nesyt indomalajský (6) | Plameňák karibský (30) | Plameňák růžový (22) | Pelikán bílý (6) | Potápkа roháč (13) | Pelikán africký (12) | Pelikán kadeřavý (41) |
|--------------|--------------------|------------------------------|------------------------------|----------------------------|------------------------|--------------------------|----------------------------|-----------------------------|
| Omn8 | 6 | 4 | 7 | 8 | 4 | 9 | 4 | M |
| Pc D103 | 3 | 2 | 3 | 2 | M | 2 | M | M |
| Bb22 | 2 | 2 | 2 | 2 | M | M | M | M |
| Pacbel 07265 | 5 | 2 | 3 | 2 | M | M | M | M |
| Oc28B | 2 | M | 3 | 4 | 3 | M | M | M |
| Puff G2F | 2 | 2 | 3 | 3 | M | M | M | M |
| Parm02 | 3 | 4 | M | M | 3 | M | M | M |
| Ptero09 | 4 | 2 | M | M | 5 | M | M | M |
| Pc A107 | 2 | M | 2 | M | M | M | M | M |
| Omn23 | 2 | 2 | M | M | M | M | 2 | M |
| De7 | 2 | M | M | M | M | 3 | NA | M |
| Parm05 | 2 | 3 | M | M | M | M | NA | M |
| Ptero02 | 4 | 5 | M | M | M | M | NA | M |
| Ptero04 | 2 | M | M | M | 3 | M | M | M |
| Puff G2C | 3 | 3 | U | U | M | M | M | M |
| Oc87B | 2 | M | 2 | M | M | M | M | M |
| Paequ10 | 2 | M | M | M | M | M | M | M |
| Bb23 | 2 | M | M | M | M | M | M | M |

Čáp bílý byl v rámci Laboratoře populační genetiky Katedry buněčné biologie a genetiky Přírodovědecké fakulty Univerzity Palackého v Olomouci celkově testován ve 4 pracích (Burianová, 2011; Fišerová, 2014; Gajdošíková, 2020 a tato práce). Dohromady bylo u čápa bílého testováno 615 mikrosatelitů z nichž polymorfismus vykazovalo 55, úspěšnost polymorfního produktu tedy činí 9 %. Testované mikrosatelity byly odvozené od zástupců z řádů: brodiví (Ciconiiformes), dlouhokřídli (Charadriiformes), plameňáci (Phoenicopteriformes), veslonozí (Pelecaniformes), potápky (Podicipediformes), trubkonosí (Procellariiformes) a tučňáci (Sphenisciformes). Z celkových 55 polymorfních lokusů u čápa bílého bylo již 18 plně charakterizováno (Burianová, 2011; Fišerová, 2014). Dalších 18 polymorfních mikrosatelitů z této práce a 19 z práce Gajdošíkové (2020) je zatím pouze vybráno a v blízké době by měly být plně charakterizované na 24 nepříbuzných jedincích čápa bílého.

7 Závěr

V rámci mé bakalářské práce jsem testovala pomocí *cross-species* PCR amplifikace celkově 213 párů primerů na šesti nepříbuzných jedincích čápa bílého. 207 z těchto párů primerů pocházelo od zástupců z řádu trubkonosí konkrétně 53 mikrosatelitů od druhů z čeledi albatrosovité, 100 od druhů z čeledi buřňákovité a 54 od druhů z čeledi buřňáčkovité. Zbývajících 6 mikrosatelitů pocházelo od druhů z řádu dlouhokřídlí (alkoun obecný, kulík mořský a racek novozélandský) a pěvci (lesňáček žlutorohý) a byly úspěšně pomocí *cross-species* PCR amplifikovány u některého druhu z řádu trubkonosí.

Z celkového počtu 213 párů primerů, 194 poskytlo u čápa bílého produkt monomorfní, 1 neposkytl žádný produkt (konkrétně se jednalo o Paequ2) a 18 mikrosatelitních lokusů bylo polymorfních. Při počátečním testování byly všechny páry primerů amplifikovány při teplotě *annealingu* 50 °C. Následně pokud poskytly slabý produkt byla teplota snižována až na 44 °C, a naopak při silném produktu byla zvyšována až na 69 °C. U všech polymorfních mikrosatelitních lokusů jsem určila počet alel, délku elektroforetické separace, teplotu *annealingu* a genotyp. Počet alel se pohyboval od dvou do šesti. Největší počet alel (6) jsem zaznamenala u lokusu Omn8 pocházejícího od buřňáčka Monteirova.

Nejvíce polymorfních lokusů se amplifikovalo od druhů z čeledi buřňákovité a to 13. Největší počet polymorfních lokusů byl zaznamenán od buřňáka havajského, konkrétně se jednalo o lokusy Ptero02, Ptero04 a Ptero09. Od čeledi albatrosovité byl zaznamenán pouze 1 polymorfní lokus a zbývající 4 polymorfní mikrosatelitní lokusy pocházely od zástupců z čeledi buřňáčkovité.

8 Literatura

- Anděra, M. (2003): Fauna. Libri, Praha, 37–39.
- Andris, M., Dubois, M.-P., Jarne, P., Bonadonna, F., Bried, J. (2010): Eleven polymorphic microsatellite markers in Bulwer's petrel, *Bulweria bulwerii*, and crossspecies amplification in three other Procellariiformes. Molecular Ecology Resources. Manuskript, dostupné online na: <https://www.yumpu.com/en/document/view/42427025/eleven-polymorphic-microsatellite-markers-in-bulwers-petrel>, navštívěno dne 8. 2. 2021.
- Barbará, T., Palma-Silva, C., Paggi, G. M., Bered, F., Fay, M. F., Lexer, Ch. (2007): Cross-species transfer of nuclear microsatellite markers: potential and limitations. *Molecular Ecology*, 16, 3759–3767.
- Bicknell, A. W. J., Dawson, D. A., Horsburgh, G. J., Knight, M. E., Bilton, D. T., Votier, S. C. (2011): Characterisation and predicted genome locations of Leach's stormpetrel (*Oceanodroma leucorhoa*) microsatellite loci (Procellariidae, Aves). *Conservation Genetics Resources*, 3, 711–716.
- Bouchner, M. (1986): Kapesní atlas ptáků. Státní pedagogické nakladatelství, Praha, 42–43.
- Bried, J., Andris, M., Dubois, M.-P., Jarne, P. (2012): Eighteen polymorphic microsatellite markers in Monteiro's storm-petrel, *Oceanodroma monteiroi*, and cross-species amplification in three other Procellariiformes. Molecular Ecology Resources. Manuskript, dostupné online na: <https://www.yumpu.com/en/document/48view/39976169/eighteen-polymorphic-microsatellite-markers-in-monteiro-s-storm>, navštívěno dne 8. 2. 2021.
- Bried, J., Dubois, M. P., Jouventin, P., Santos, R. S. (2008): Eleven polymorphic microsatellite markers in Cory's shearwater, *Calonectris diomedea*, and cross-species amplification on threatened Procellariiformes. *Molecular Ecology Resources*, 8, 602–604.
- Brown, R. M., Jordan, W. C. (2009): Characterization of polymorphic microsatellite loci from Round Island Petrels (*Pterodroma arminjoniana*) and their utility in other seabird species. *Journal of Ornithology*, 150, 925–929.
- Burg, T. M. (1999): Isolation and characterization of microsatellites in albatrosses. *Molecular Ecology*, 8, 338–341.
- Burg, T. M., Croxall, J. P. (2001): Global relationships amongst black-browed and grey-headed albatrosses: analysis of population structure using mitochondrial DNA and microsatellites. *Molecular Ecology*, 10, 2647–2660.
- Burg, T. M., Croxall, J. P. (2004): Global population structure and taxonomy of the wandering albatross species complex. *Molecular Ecology*, 13, 2345–2355.

- Burianová, E. (2011): Analýza a charakteristika polymorfních *cross-species* mikrosatelitů pro determinaci paternity u čápa bílého (*Ciconia ciconia*). Diplomová práce. Depon in: Knihovna biologických oborů PřF UPOL, Olomouc.
- Burnie, D. (Ed.) (2009): Zvíře. Knižní Klub, Praha, 277–279.
- Cracraft, J., Barker, F. K., Braun, M., Harshman, J., Gareth, J. D., Feinstein, J., Stanley, S., Cibois, A., Schikler, P., Beresford, P., García-Moreno, J., Sorenson, M. D., Yuri, T., Mindell, D. P. (2004): Phylogenetic Relationships among Modern Birds (Neornithes). Oxford University Press, New York, 468–489.
- Dawson D. A., Horsburgh G., Küpper C., Stewart I. R. K., Ball A. D., Durrant K. L., Hansson B., Bacon Il., Bird S., Klein Á., Krupa A. P., Lee J.-W., Martín-Galvéz D., Simeoni M., Smith G., Spurgin L. G., Burke T. (2010): New methods to identify conserved microsatellite loci and develop primer sets of high cross-species utility – as demonstrated for birds. *Molecular Ecology Resources*, 10, 475–494.
- Dawson, D. A., Ball, A. D., Spurgin, L. G., Martín-Galvéz, D., Stewart, I. R. K., Horsburgh, G. J., Potter, J., Molina-Morales, M., Bicknell, A. W. J., Preston, S. A. J., Ekblom, R., Slate, J., Burke, T. (2013): High-utility conserved avian microsatellite markers enable parentage and population studies across a wide range of species. *BMC Genomics*, 14, 176.
- Dawson, R. J. G., Gibbs, H. L., Hobson, K. A., Yezerinac, S. M. (1997): Isolation of microsatellite DNA markers from a passerine bird, *Dendroica petechia* (the yellow warbler), and their use in population studies. *Heredity*, 79, 506–514.
- Dubois, M. P., Jarne, P., Jouventin, P. (2005): Ten polymorphic microsatellite markers in the wandering albatross *Diomedea exulans*. *Molecular Ecology Notes*, 5, 905–907.
- Ellegren, H. (1992): Polymerase-Chain-Reaction (PCR) Analysis of Microsatellites: A New Approach to Studies of Genetic Relationships in Birds. Oxford University Press, New York, 886–895.
- Ellegren, H. (2004): Microsatellites: simple sequences with complex evolution. *Nature Reviews Genetics*, 5, 435–445.
- Felix, J. (1977): Evropská fauna. Artia, Praha, 190–191.
- Fišerová, E. (2014): Analýza a charakteristika polymorfních *cross-species* mikrosatelitů u čápa bílého (*Ciconia ciconia*), černého (*C. nigra*) a simbila (*C. abdimii*). Diplomová práce. Depon in: Knihovna biologických oborů PřF UPOL, Olomouc.
- Friesen, V. L., González, J. A., Cruz-Delgado, F. (2006): Population genetic structure and conservation of the Galapagos petrel (*Pterodroma phaeopygia*). *Conservation Genetics*, 7, 105–115.
- Gaisler, J., Zima, J. (2018): Zoologie obratlovců. Academia, Praha, 463–486.

- Gajdošíková, T. (2020): *Cross-species* amplifikace mikrosatelitů z řádu tučňáci a konzervovaných ptačích mikrosatelitů u čápa bílého (*Ciconia ciconia*). Bakalářská práce. Depon in: Knihovna biologických oborů PřF UPOL, Olomouc.
- Gibb, G. C., Kennedy, M., Penny, D. (2013): Beyond phylogeny: pelecaniform and ciconiiform birds, and long-term niche stability. *Molecular Phylogenetics and Evolution*, 68, 229–238.
- Gill, F., Donsker, D. (2021): IOC World Bird list (v11.1) dostupné online na: <https://www.worldbirdnames.org/bow/storks/>, navštívěno dne 16. 2. 2021.
- Given, A. D., Mills, J. A., Baker, A. J. (2002): Isolation of polymorphic microsatellite loci from the red-billed gull (*Larus novaehollandiae scopulimus*) and amplification in related species. *Molecular Ecology Notes*, 2, 416–418.
- Goldstein, D. B., Pollock, D. D. (1997): Launching Microsatellites: A Review of Mutation Processes and Methods of Phylogenetic Inference. *The Journal of Heredity*, 88, 335–342.
- Gonzalez, E. G., Genovart, M., Oro, D., Zardoya, R., Juste, J. (2009): Polymorphic microsatellite markers for the critically endangered Balearic shearwaters, *Puffinus mauretanicus*. *Molecular Ecology Resources*, 9, 1044–1046.
- Hackett, S. J., Kimball, R. T., Reddy, S., Bowie, R. C. K., Braun, E. L., Braun, M. J., Chojnowski, J. L., Cox, W. A., Han, K., Harshman, J., Huddleston, Ch. J., Marks, B. D., Miglia, K. J., Moore, W. S., Sheldon, F. H., Steadman, D. W., Witt, Ch. C., Yuri, T. (2008): A Phylogenetic Study of Birds Reveals Their Evolutionary History. *Science*, 320, 1763–1767.
- Hanzák, J. (1974): Velký obrazový atlas ptáků. Artia, Praha, 74–77.
- Hanzák, J., Hudec, K. (1963): Světem zvířat II. díl-Ptáci (1. část). Státní nakladatelství dětské knihy, Praha, 124–128.
- Hardesty, B. D., Metcalfe, S. S., Wilcox, C. (2013): Genetic variability and population diversity as revealed by microsatellites for Flesh-footed shearwaters (*Puffinus carneipes*) in the southern hemisphere. *Conservation Genetics Resources*, 5, 27–29.
- Hernandez, L. D., Lounsberry, Z. T., Collins, P. W., Henry, R. W., Newsome, S. D., Sacks, B. N. (2014): Development and characterization of 15 polymorphic microsatellite markers for North Pacific albatrosses using paired-end Illumina shotgun sequencing. *Conservation Genetics Resources*, 6, 491–493.
- Hudzieczková, A. (2019): *Cross-species* amplifikace mikrosatelitů z řádu trubkonosí u pelikána bílého (*Pelecanus onocrotalus*). Bakalářská práce. Depon in: Knihovna biologických oborů PřF UPOL, Olomouc.
- Janušová, D. (2015): *Cross-species* amplifikace mikrosatelitů z řádu trubkonosí u potápky roháče (*Podiceps cristatus*). Bakalářská práce. Depon in: Knihovna biologických oborů PřF UPOL, Olomouc.

Janušová, D. (2017): Charakteristika vybraných polymorfních *cross-species* mikrosatelitů z kladu Aequorlitornithes u potápkы roháče (*Podiceps cristatus*). Diplomová práce. Depon in: Knihovna biologických oborů PřF UPOL, Olomouc.

Kopečná, K. (2018): *Cross-species* amplifikace mikrosatelitů z řádu trubkonosí u pelikána afrického (*Pelecanus rufescens*). Bakalářská práce. Depon in: Knihovna biologických oborů PřF UPOL, Olomouc.

Kopečná, K. (2020): Analýza a charakteristika vybraných polymorfních mikrosatelitů z řádů trubkonosí a tučňáci a konzervovaných ptačích mikrosatelitů u pelikána afrického (*Pelecanus rufescens*). Diplomová práce. Depon in: Knihovna biologických oborů PřF UPOL, Olomouc.

Küpper, C., Horsburgh, G. J., Dawson, D. A., French-Constant, R., Szekely, T., Burke, T. (2007) Characterization of 36 polymorphic microsatellite loci in the Kentish plover (*Charadrius alexandrinus*) including two sex-linked loci and their amplification in four other *Charadrius* species. *Molecular Ecology Notes*, 7, 35–39.

Kuramoto, T., Nishihara, H., Watanabe, M., Okada, N. (2015): Determining the Position of Storks on the Phylogenetic Tree of Waterbirds by Retroposon Insertion Analysis. *Genome Biology and Evolution*, 7, 3180–3189.

Kůrová, V. (2017): *Cross-species* amplifikace mikrosatelitů z řádu trubkonosí u plameňáka růžového (*Phoenicopterus roseus*). Bakalářská práce. Depon in: Knihovna biologických oborů PřF UPOL, Olomouc.

Lacina, D., Rejman, B. (2002): Action plan for the White Stork (*Ciconia ciconia*) guidelines for species management in the Czech Republic. *Sylvia*, 38, 113–123.

Lawrence, H. A. (2008): Conservation Genetics of the World's Most Endangered Seabird, the Chatham Island Tāiko. Disertační práce. Auckland, Nový Zéland, Massey University, dostupné online na: <http://mro.massey.ac.nz/handle/10179/657>, navštívěno dne 8. 2. 2021.

Moodley, Y., Masello, J. F., Cole, T. L., Calderon, L., Munimanda, G. K., Thali, M. R., Alderman, R., Cuthbert, R. J., Marin, M., Massaro, M., Navarro, J., Phillips, R. A., Ryan, P. G., Suazo, C. G., Cherel, Y., Weimerskirch, H., Quillfeldt, P. (2015): Evolutionary factors affecting the cross-species utility of newly developed microsatellite markers in seabirds. *Molecular Ecology Resources*, 15, 1046–1058.

Nedvědová, M. (2015): *Cross-species* amplifikace mikrosatelitů z řádu trubkonosí u nesyta indomalajského (*Mycteria leucocephala*). Diplomová práce. Depon in: Knihovna biologických oborů PřF UPOL, Olomouc.

Neff, B. D., Gross, M. R. (2001): Microsatellite evolution in vertebrates: inference from AC dinucleotide repeats. *Evolution*, 55, 1717–1733.

- Oliveira, E. J., Pádua, J. G., Zucchi, M. I., Vencovsky, R., Vieira, M. L. C. (2006): Origin, evolution and genome distribution of microsatellites. *Genetics and Molecular Biology*, 29, 294–307.
- Prum, R. O., Berv, J. S., Dornburg, A., Field, D. J., Townsend, J. P., Lemmon, E. M., Lemmon, A. R. (2015): A comprehensive phylogeny of birds (Aves) using targeted next-generation DNA sequencing. *Nature*, 526, 569–573.
- Quillfeldt, P., Masello, J. F., Segelbacher, G. (2012): Extra-pair paternity in seabirds: a review and case study of Thin-billed Prions *Pachyptila belcheri*. *Journal of Ornithology*, 153, 367–373.
- Sheldon, F. H., Slikas, B. (1997): Advances in Ciconiiform Systematics 1976–1996. *Colonial Waterbirds*, 20, 106–114.
- Sia, E. A., Butler, C. A., Dominska, M., Greenwell, P., Fox, T. D., Petes, T. D. (2000): Analysis of microsatellite mutations in the mitochondrial DNA of *Saccharomyces cerevisiae*. *Proceedings of the National Academy of Sciences of the United States of America*, 97, 250–255.
- Sibley, Ch. G., Ahlquist, J. E., Monroe, Jr. B. L. (1988): A classification of the Living Birds of the World Based on DNA-DNA Hybridization Studies. *The Auk: Ornithological Advances*, 105, 409–423.
- Slikas, B. (1997): Phylogeny of the Avian Family Ciconiidae (Storks) Based on Cytochrome b Sequences and DNA-DNA Hybridization Distances. *Molecular Phylogenetics and Evolution*, 8, 275–300.
- Slikas, B. (1998): Recognizing and Testing Homology of Courtship Displays in Storks (Aves: Ciconiiformes: Ciconiidae). *Society for the Study of Evolution*, 884–893.
- Strand, M., Prolla, T. A., Liskay, R. M., Petes, T. D. (1993): Destabilization of tracts of simple repetitive DNA in yeast by mutations affecting DNA mismatch repair. *Nature*, 365, 274–276.
- Strejčková, B. (2016): *Cross-species* amplifikace mikrosatelitů z řád trubkonosí u plameňáka karibského (*Phoenicopterus ruber*). Bakalářská práce. Depon in: Knihovna biologických oborů PřF UPOL, Olomouc.
- Strejčková, B. (2018): Analýza a charakteristika polymorfních *cross-species* mikrosatelitů od trubkonosých u plameňáka karibského (*Phoenicopterus ruber*). Diplomová práce. Depon in: Knihovna biologických oborů PřF UPOL, Olomouc.
- Sun, Z., Gómez-Díaz, E., Bailie, A., Friesen, V. (2009): Isolation and characterization of microsatellite loci for storm-petrels. *Molecular Ecology Resources*, 9, 913–915.
- Svensson, L., Grant, P. J. (2004): Ptáci Evropy, Severní Afriky a Blízkého východu. Praktická určovací příručka. Svojtka & Co., Praha, 34.

Škorpíková, V., Reiter, A., Valášek, M., Křivan, V., Pollheimer, J. (2012): Ptáci Národního parku Podyjí / Thayatal Die Vögel des Nationalparks Podyjí / Thayatal. Správa Národního parku Podyjí, Znojmo, 97–99.

Techow, N. M. S. M., O’Ryan, C. (2004) Characterization of microsatellite loci in White-chinned Petrel (*Procellaria aequinoctialis*) and cross-amplification in six other procellariiform species. *Molecular Ecology Notes*, 4, 33–35.

Tóth, G., Gáspári, Z., Jurka, J. (2000): Microsatellites in different eukaryotic genomes: Survey and analysis. *Genome Research*, 10, 967–981.

Verešová, D. (2018): *Cross-species* amplifikace mikrosatelitů z řádu trubkonosí u pelikána kadeřavého (*Pelecanus crispus*). Bakalářská práce. Depon in: Knihovna biologických oborů PřF UPOL, Olomouc.

Verešová, D. (2020): Analýza a charakteristika vybraných polymorfních mikrosatelitů z řádů trubkonosí a tučňáci a konzervovaných ptačích mikrosatelitů u pelikána kadeřavého (*Pelecanus crispus*) a u plameňáka růžového (*Phoenicopterus roseus*). Diplomová práce. Depon in: Knihovna biologických oborů PřF UPOL, Olomouc.

Veselovsky, Z. (1987): Ptáci a voda. Academia, Praha, 26–28.

Wang, X., Clarke, J. A. (2014): Phylogeny and forelimb disparity in waterbirds. *Evolution*, 2847–2860.

Welch, A. J., Fleischer, R. C. (2011): Polymorphic microsatellite markers for the endangered Hawaiian petrel (*Pterodroma sandwichensis*). *Conservation Genetics Resources*, 3, 581–584.

Zlochová, A. (2019): Amplifikace vybraných polymorfních mikrosatelitů z řádu trubkonosí u plameňáka růžového (*Phoenicopterus roseus*). Diplomová práce. Depon in: Knihovna biologických oborů PřF UPOL, Olomouc.